

судя по значению V [2]. Так как по нашим спектрам мы не можем выделить звезды гиганты спектральных подклассов Ma , а выявленные в скоплении M -звезд оказались именно ранними M -звездами то, кроме данных, приведенных в [5] и [2], в пользу их принадлежности к скоплению, может говорить тот факт, что все они ярче 13,5 звездной величины (звезды-карлики, прилежащие к скоплению, на наших снимках оказались на пределе видимости; $V=15-16$ зв. величины). Возможно, что из-за большой плотности звезд в скоплении, особенно в его центре, несколько звезд красных гигантов оказались недоступными для классификации. Несмотря на это заметна концентрация красных гигантов к центру скопления.

То обстоятельство, что M -звезды выявились не только в центре, но и на периферии, может указывать на довольно большой возраст скопления.

В дальнейшем желательно продолжить исследование красных звезд в скоплении. На нашем инструменте это возможно или по более низкодисперсным спектрам или же по более крупномасштабным снимкам, получаемым с той же дисперсией (снимки во второй оптической системе).

Сравнение между собой данных репродукций негативов №№ 3695 и 3730 показывает, что для выявления слабых M -звезд более гыгодно использовать 4-градусную призму и область спектра 6100—6800 ангстрем. В этом случае можно выявить и классифицировать слабые M -карлики и гиганты.

Февраль 1964.

ЧАСТЬЮ ЗАКЛЮЧЕНИЯ NGC 6819-ОБЛАСТИ

а. 900000 до б. 900000
(60000)

Сюда входят звезды NGC 6819-области, включая звезды NGC 623 M-карликовые звезды из ассоциации Цефей II.

RED STARS IN THE NGC 6819-AREA

M. V. DOLIDZE and N. LYPAEVA
(Summary)

In the NGC 6819-area 623 M-stars are revealed and classified.

ЦИТИРОВАННАЯ ЛИТЕРАТУРА

- Бархатова К. А., Шашкина Л. П. Диаграмма цвет-звездная величина рассеянного скопления NGC 6819. Астрон. Цирк. 1963 № 233, 1.
- Бархатова К. А., Дронова В. И., Панева Л. И., Шашкина Л. П. Исследование рассеянного звездного скопления NGC 6819. Сборник работ по астрофизике Уральск. гос. унив. Вып. 1, 1963, 3. Свердловск.
- Долидзе М. В., Гусева Н. Н., Ретивая Т. В., Кундзиня Б. А. Красная и инфракрасная спектральная классификация M -звезд по низкодисперсным спектрам в Лебеде IV. Бюлл. Абастум. Астрофиз. обс. 1962, № 28, 137.
- Neckel H. The Distribution of the BD M -Type Stars along the Galactic Equator. ApJ. 1958, 128, 510.
- Varnard E. E. Micrometric Measures of Star Clusters. Pub. Yerkes Obs. 1931, 6, 1.

ОТНОСИТЕЛЬНЫЕ ПОЛОЖЕНИЯ, ЗВЕЗДНЫЕ ВЕЛИЧИНЫ И СПЕКТРАЛЬНЫЕ КЛАССЫ ЗВЕЗД КРАТНЫХ СИСТЕМ ТИПА ТРАПЕЦИИ

Г. Н. САЛУКВАДЗЕ

Введение

Одним из наиболее важных открытий в советской астрономической науке послевоенного периода явилось открытие В. А. Амбарцумяном звездных систем нового типа, названных им звездными ассоциациями. С ним связано развитие новых идей, относящихся к проблеме происхождения и эволюции звезд и звездных систем, давшее начало интенсивным исследованиям в звездной астрономии, астрофизике и звездной космогонии. При этом многие из наблюдавшихся до того или обнаруженных впоследствии фактов получили новое освещение, а в связи с этим были выдвинуты многие новые наблюдательные и теоретические задачи.

Учение о звездных ассоциациях и разработка связанных с ними космогонических вопросов охватили многие обсерватории в Советском Союзе и за рубежом. При этом возникла необходимость в выполнении дополнительных наблюдений и определений и пополнении наших знаний новыми, до того дефицитными наблюдательными данными. Это относится, в частности, к параметрам, характеризующим скорости расширения ассоциаций.

В числе наиболее интересных и важных теоретических оценок на пути разработки учения о звездных ассоциациях были оценки их возраста, имеющие принципиальное значение, поскольку они приводили к весьма малому его значению. Эти оценки были связаны с обнаружением расширения и определениями скорости расширения ассоциаций. Впервые реальное расширение ассоциаций обнаружил в 1952 году Блау [1], показавший на основе анализа собственных движений 17 звезд, входящих в ассоциацию Персей II, что эта ассоциация расширяется со скоростью 12 км/сек., и что звезды в ней образовались 1.3×10^6 лет назад. В 1953 году Б. Е. Маркарян [2] исследовал собственные движения 17 звезд спектрального класса O-B2 в ассоциации Цефей II и показал, что эта ассоциация расширяется со скоростью 8 км/сек., чему соответствует возраст в 4.5×10^6 лет. В дальнейшем соображение о расширении звездных ассоциаций было подтверждено целым рядом авторов (см., например, [3, 4, 5, 6, 7, 8, 9]).

Поскольку было определено, что возраст ассоциаций по сравнению с возрастом Галактики незначителен, следовал важный вывод о том, что ассоциации являются молодыми системами, а возникновение и развитие звезд происходит в настоящее время, в нашу эпоху [10, 11]. После того как было установлено, что так называемые O-ассоциации являются неустойчивыми распадающимися системами, особое внимание обращалось на изучение природы звезд, являющихся составными членами ассоциаций. Была установлена важная особенность, заключающаяся в том, что ядрами O-ассоциаций являются открытые скопления

[10]; при этом же была констатирована многочисленность кратных звездных систем в ассоциациях.

В числе таких кратных систем особо были выделены кратные системы типа Трапеции Ориона, составляющие элементы ядер О-ассоциаций и представляющие собой неустойчивые системы, по всей вероятности, с положительной энергией [12]. Как известно, большинство кратных систем состоят из двух близких компонентов и одного далекого компонента (в случае трехкратной системы). Расстояние между двумя близкими компонентами АВ очень мало по сравнению с расстояниями АС и ВС между ними и третьим компонентом. Существуют кратные системы и другого типа, в которых отношение наибольшего расстояния к наименьшему меньше трех. Кратные системы первого типа определены В. А. Амбарцумяном [13] как кратные системы обычного типа, а кратные системы второго типа — как кратные системы типа Трапеции Ориона. Типичной звездой кратной звезды обычного типа является Ε Лиры, а кратной системы типа Трапеции — Θ' Ориона.

В. А. Амбарцумян и Б. Е. Маркарян не только впервые ввели понятие о кратных системах типа Трапеции, но в месте с тем, также и впервые подчеркнули их космогоническое значение. Изучая О-ассоциацию вокруг Р Лебедя, они обнаружили в ней большое число кратных систем типа Трапеции, на основании чего пришли к выводу, что если не всегда, то во многих случаях звезды возникают кратными системами и компактными звездными скоплениями [12].

Ввиду того, что мы практически наблюдаем не реальную в пространственном смысле конфигурацию кратных звезд, а полученную в результате проектирования на небесную сферу, может случиться, что кратную систему обычного типа примем за кратную систему типа Трапеции и наоборот. В. А. Амбарцумян [14] теоретически вычислил вероятность «превращения» кратной системы обычного типа в систему типа Трапеции. Эта вероятность в случае трехкратной системы равна 0.07. Таким образом 7% всех звезд, являющихся системами обычного типа, в проекции представляются как системы типа Трапеции. В случае четырехкратной системы это число составляет 10, а в случае систем с большим числом составляющих оно не больше, чем 14.

Статистическое изучение кратных систем [15] на основе каталога двойных звезд Эйткена [16] показало, что среди систем, главные звезды которых относятся к спектральным классам А—К, существование кратных систем типа Трапеции мало вероятно, а среди кратных звезд, главные звезды которых имеют спектральные классы О-В, реальные системы типа Трапеции встречаются в виде групп молодых звезд. Это соображение В. А. Амбарцумяна было подтверждено работой Шарплесса [17], который на основании фотографий, полученных на обсерватории Маунт Вильсон, обнаружил несколько новых кратных систем типа Трапеции, имеющих спектральные классы более ранние, чем O9.

В обычных кратных системах движение компонентов кеплеровское. Ясно, что такое движение может длиться весьма продолжительное время, и поэтому подобные системы устойчивы. Кратные системы обычного типа составляют большую часть всех кратных звезд. Кратные системы типа Трапеции похожи на открытые скопления, отличаясь от них только тем, что в них число звезд меньше. Время распада открытых скоплений зависит от числа звезд.

Применив формулу определения времени релаксации для среднего времени распада кратных систем, полная энергия которых отрицатель-

на, В. А. Амбарцумян получил 2×10^6 лет. Это значит, что кратная система типа Трапеции успеет распасться, пока каждая звезда, входящая в нее, успеет совершить несколько оборотов [13]. В. А. Амбарцумян предполагает, что полная энергия многих кратных систем Трапеции положительна, но существующий в наше время наблюдательный материал не дает возможности решить этот очень важный вопрос. Вывод В. А. Амбарцумяна о положительности полной энергии был подтвержден работой П. П. Паренаго [17, 18, 19, 20], использовавшего очень большое число измерений (свыше тысячи) кратной системы Трапеции Ориона, выполненных за 120 лет, (1820—1940). Для полной энергии системы он получил положительное значение, на основании чего был сделан вывод, что кратные системы типа Трапеции являются молодыми системами, возраст которых оценивается несколькими десятками тысяч лет. При этом, однако, получались иной раз и противоречавшие выводу П. П. Паренаго результаты [21], что лишний раз свидетельствовало о трудности задачи, которая требовала обогащения наблюдательными данными.

Б. Е. Маркарян [22, 23] установил, что кратные системы типа Трапеции, главные звезды которых принадлежат спектральным классам O-B, являются ядрами открытых скоплений типа O (по его же классификации) и играют очень важную, структурную и эволюционную роль. Поскольку O-скопления являются молодыми образованиями, этот факт еще раз свидетельствует о молодости кратных систем типа Трапеции. В подтверждение Шарплесса [17] установлен тесную связь кратных систем типа Трапеции со скоплениями типа O и с диффузными туманностями.

Таким образом, как видим, кратные системы типа Трапеции приобрели особое физическое значение и их изучение представляет огромный интерес для задач космогонии.

В связи с этим очень важной задачей является, в частности, чисто наблюдательное рассмотрение расширения кратных систем типа Трапеции. А в этом отношении необходимы в первую очередь прецизионные измерения взаимных положений компонентов кратных звездных систем, обнаружение их относительных движений [13, 24, 25]. Важны также и статистические исследования распределения их физических характеристик, определяемых фотометрическими и спектральными данными. Это может явиться дополнительным средством изучения физической природы и вопросов происхождения и развития этих систем.

Мы, в Абастуманской астрофизической обсерватории, в конце 1958 года приступили к планомерным наблюдениям избранных кратных систем типа Трапеции. Наша задача заключалась в определении относительных положений, звездных величин составляющих звезд и, по мере возможности, в определении спектральных классов. Наблюдательный фотографический материал, послуживший для определения относительных положений и звездных величин, накоплен в главном фокусе 40-см рефрактора Абастуманской астрофизической обсерватории, потребовавшего в связи с данной задачей некоторой реконструкции в части фотографической камеры [26].

Кратные системы, включенные в нашу программу наблюдений выбирались соответственно нашим инструментальным возможностям из списка [13], изучение систем которого по мнению В. А. Амбарцумяна представляет первоочередной интерес. Это были следующие системы: ADS 307, 423, 1209, 1823, 1877, 2135, 2984, 3579, 3940, 4962, 5008, 6366, 10489, 10637, 11168, 11179, 13117, 14338, 14831, 14969, 15184, 15679, 16095, 16474.

Для перечисленных систем мы составили на основе наших же наблюдений и определений каталог астрономических, колориметрических и спектральных характеристик.

Глава I ОПРЕДЕЛЕНИЯ ОТНОСИТЕЛЬНЫХ ПОЛОЖЕНИЙ

§ 1. Наблюдения

Методика фотографических наблюдений двойных звезд подробно изложена в работах П. К. Штернберга и Е. Герцшпрunga [27, 28, 29].

Со времени работ П. К. Штернберга и Е. Герцшпрunga точность измерений двойных звезд сильно повысилась. Этим и объясняется то обстоятельство, что стало возможным успешное осуществление астрометрических исследований многих физических систем [30, 31, 32, 33, 34, 35].

Для достижения нужной точности измерений необходимо для каждой двойной или кратной звезды иметь достаточное количество фотопластинок с большим числом изображений. Эти условия выполняемы только для ярких пар, поскольку фотографические наблюдения в большинстве случаев ведутся на рефракторах с относительными отверстиями 1/15—1/18, а рефракторы обладают известным недостатком, который заключается в их малой проникающей силе. Практически, для крупнейшего рефрактора Иерской обсерватории предельной оказывается всего лишь 10-я звездная величина, когда требуется большое число изображений на одной пластинке [36]. Естественно, что для рефрактора, которыми мы располагали для работы, предельная звездная величина еще меньше.

Ввиду того, что выбранные нами кратные звезды слабые, в большинстве случаев на одной пластинке мы получали по одному изображению. Однако, для ряда сравнительно ярких систем: ADS 1877, 3579, 3940, 11168, 13117, 14831, 15184, 16095, 16474, на одной пластинке мы получали от двух до девяти изображений, размещая при этом изображения движением пластинодержателя (кассеты) фотографической камеры в направлении, перпендикулярном оптической оси.

Все снимки были получены на пластинках «Агфа Спектраль Платтен Гельб Рапид» с желтым фильтром ЖС18. Эффективная длина волны для этой комбинации равна 5500 ангстрем.

Качество изображений на пластинке, особенно для тесной пары, очень сильно зависит от условий наблюдений и от хорошей работы часового механизма телескопа. Поэтому, все фотоснимки осуществлялись при хороших атмосферных условиях вблизи меридиана, на малых зенитных расстояниях и только зенитные расстояния для снимков систем ADS 5008, 10489, 11168 имели большие значения, поскольку сами системы расположены "а больших отрицательных склонениях" — около 20°. Перед наблюдением всегда тщательно выверялся ход работы часового механизма.

Важным условием для получения хороших фотографий двойных или кратных звезд является правильный выбор экспозиции, особенно — когда компоненты сильно различаются по блеску и по цвету, поскольку как недодержанные, так и передержанные изображения измеряются неточно.

Для выбора экспозиции, в случае яркой системы, фотографировались ряды изображений кратной звезды с различными выдержками в зависимости от расстояния и блеска слабого компонента. В случае слабой системы тоже заранее определялись оптимальные экспозиции. Таким образом, программные снимки звезд производились с уже уточненными экспозициями.

Для ориентации на фотопластинке, на каждой из них фотографировалась яркая ($m < 5$) близэкваториальная звезда ($\delta < +30^\circ$) при выключенном часовом механизме.

Пластинки мы проявляли неизменно в проявителе К. В. Чубисова. Продолжительность проявления мы выдерживали всегда 8 минут, при температуре проявителя $+18^\circ\text{C}$.

Всего для 24 кратных систем типа Трапеции были получены 102 пластиинки. 78% пластинок получены при часовом угле ± 10 —20 минут.

В таблице I приводится список использованных фотографий с указанием условий наблюдений.

§ 2. Измерения фотопластинок

Все негативы были измерены на координато-измерительной машине КИМ-3*, в двух положениях, отличающихся друг от друга на 180° , с применением реверсионной призмы, поскольку измерения с реверсионной призмой в одном положении вносят некоторые систематические ошибки в определения позиционного угла двойных звезд [37, 38].

Измерялись изображения правильной формы. Изображение звезды ставилось в квадрат измерительной сетки прибора.

Ориентирование пластиинки производилось по следу близэкваториальной звезды длиною 6—8 см. След устанавливается параллельно оси ОХ. Ориентировка осуществлялась с точностью, по крайней мере, до $2'$. С подобной точностью ориентированы пластиинки в измерительном приборе у других авторов [37, 39].

В измеренных координатах поправки за ошибки шкал измерительного прибора не учитывались вследствие малости измеренных расстояний.

Вследствие того, что в основном пластиинки были получены в небольших часовых углах и расстояния между компонентами небольшие, учет дифференциальной рефракции производился по упрощенным формулам вида [40]:

$$\begin{aligned} \Delta x &= \sin 1'' k_3 x + \beta \sin k_1 (k_2 - \operatorname{tg} \delta) y \\ \Delta y &= \sin 1'' k_1 (k_2 + \operatorname{tg} \delta) + \beta \sin 1'' k_4 y \end{aligned} \quad (1)$$

Коэффициенты K_1 и K_2 вычисляются из основных формул параллактического треугольника, образованного полюсом, зенитом и оптическим центром пластиинки, причем они являются идеальными координатами проекции зенита на плоскость пластиинки где ξ — истинное зенит-

$$\begin{aligned} k_1 &= \operatorname{tg} \xi \sin q, \\ k_2 &= \operatorname{tg} \xi \cos q. \end{aligned}$$

* Подробное описание исследования нашего экземпляра машины см. в Бюлл. Абастуманской астрофизической обсерватории № 30.

Таблица 1

№ п.п.	№ ADS	№ пластиинки	Дата снимка	Число изобр.	Экс. в мин.	Часовой угол	Зенит. расст.	Температура воздуха в башне
1	307	5887	29-X-1959	1	27	-0°30'	20°43'	+ 5°C
2		6305	17-X-1960	1	60	-0 16	20 22	+ 13
3		6493	8-IX-1961	1	45	0 00	20 14	+ 12
4		6514	6-X-	1	45	+0 03	20 14	+ 5
5	423	6239	24-IX-1960	1	5	-1 34	25 25	+ 13
6		6240	24-IX-	1	15	-1 22	24 31	+ 13
7		6253	29-IX-	1	6	+1 41	25 50	+ 9
8		6255	29-IX-	2	36	+1 46	26 24	+ 9
9		6502	20-IX-1961	1	30	+0 41	21 13	+ 6
10		6509	6-X-	1	35	+0 09	21 25	+ 3
11								
12	1209	6246	25-IX-1960	1	15	+0 42	20 21	+ 8
13		6307	17-IX-	1	45	+1 09	21 29	+ 13
14		6487	7-IX-1961	2	23:15	-0 19	18 54	+ 9
15		6494	9-IX-	1	30	+0 05	18 45	+ 12
16		6510	6-X-	1	25	+0 06	18 46	+ 3
17		6515	7-X	1	25	+0 01	18 44	+ 5
18	1823	5956	30-XI-1959	1	5	-1 25	15 53	- 6
19		6271	30-XI-1960	1	20	-1 53	21 04	+ 10
20		6272	30-IX	1	7	-2 09	24 00	+ 10
21		6306	17-X	1	45	+0 48	9 05	+ 13
22	1877	6221	22-IX-1960	2	4:8	-1 56	25 43	+ 13
23		6495	9-IX-1961	6	2-5	+0 03	18 43	+ 12
24		6503	20-X	4	4-9	+0 02	18 43	+ 6
25	2135	5926	31-X-1959	1	45	+0 20	31 05	+ 7
26		6309	18-X-1960	1	45	+2 07	34 30	+ 13
27		6511	6-X-1961	1	45	0 00	30 59	+ 3
28		6534	5-XII	1	45	+0 20	31 05	+ 4
29		6748	29-X-1962	1	45	-0 25	32 12	+ 11
30	2984	6314	19-X-1960	1	30	-1 57	26 49	+ 13
31		6335	26-X-	1	30	+0 17	20 39	+ 10
32		6504	20-IX-1961	1	25	-0 12	20 35	+ 10
33		6514	14-X-	3	5:6:7	+0 28	20 55	+ 5
34		6522	19-X-	5	по -5	+0 23	20 46	+ 8
35		6535	5-XII	1	25	+0 04	20 30	+ 5
36	3579	5896	30-X-1959	1	10	-1 41	34 57	+ 3
37		6520	14-X-1961	4	3-5	+0 26	27 52	+ 8
38		6523	19-X-	4	по -3	+0 46	29 03	+ 5
39		6536	5-XII	5	по -4	+0 11	27 24	+ 4
40	3940	6327	22-X-1960	1	15	-1 13	15 00	+ 10
41		6328	22-X-	2	по -5	-0 53	13 07	+ 10
42		6521	14-X-1961	5	3-5	+0 44	11 47	+ 10
43		6537	5-XII	6	по -3	-0 16	8 35	+ 8
44	4762	6538	5-XII-1961	5	по -5	+0 17	8 35	+ 4
45		6543	6-XII	1	45	+0 50	23 02	+ 4
46	5008	5959	1-XII-1959	1	45	+0 09	20 40	+ 3
47		6000	27-I-1960	1	30	+0 06	57 43	- 7
48		6585	1-II-1962	1	30	+0 34	58 13	- 8
49		6588	2-II	1	34	+0 39	58 21	- 1
50		6589	3-II	1	60	+0 28	58 03	- 1
				1	34	+0 30	58 06	- 1

Продолжение таблицы 1

№ п.п.	№ ADS	№ пластиинки	Дата снимка	Число изобр.	Экс. в мин.	Часовой угол	Зенит. расст.	Температура воздуха в башне	
51	6366	6393	11-I-1961	1	45	-1°12'	44°39'	0°	
52		6539	5-XII	1	45	-0 17	41 46	+ 4	
53		6544	6-XII	1	45	0 00	41 35	+ 3	
54		6569	13-I-1962	1	48	+2 10	52 10	- 7	
55		6570	13-I	1	5	+2 55	57 15	- 7	
56	10489	6642	25-VI-1962	1	35	+0 37	58 03	+16	
57		6643	29-VI-	1	48	+0 03	57 27	+18	
58		6644	28-VI-	1	45	+0 15	57 32	+16	
59		6647	29-VI-	1	44	+0 19	57 35	+16	
60	10637	6131	16-VIII-1960	1	30	+1 20	23 22	+17	
61		6507	3-X-1961	1	40	+3 17	43 39	+ 7	
62		6651	30-VI-1962	1	45	+0 31	17 32	+15	
63		6653	1-VII	1	35	0 00	16 19	- 17	
64		6670	6-VII	1	45	+0 27	17 15	+18	
65	11168	6102	29-VIII-1960	1	5	+0 56	61 56	+15	
66		6111	30-VII-	1	6	+0 59	62 05	+14	
67		6648	29-VI-1962	3	по -5	+0 29	60 56	+16	
68		6652	30-VI-	3	по -4	+0 31	60 58	+15	
69		6654	2-VII	3	3:7	+0 12	60 53	+17	
70		6659	3-VII	4	по -6	+0 22	60 47	+18	
71		6668	5-VII	5	по -4	+0 16	60 41	+17	
72	11179	6645	28-VI-1962	1	30	+0 20	4 02	+16	
73		6649	29-VI-	1	45	+1 20	14 58	+16	
74		6655	1-VII	1	34	+0 50	9 20	+17	
75		6671	6-VII	1	45	+0 53	9 31	+18	
76	13117	6170	20-VIII-1960	1	15	+0 22	12 22	+18	
77		6480	3-IX-1961	2	8:10	+0 25	12 36	+13	
78		6482	5-IX-	4	8-12	+0 10	11 43	+11	
79		6485	6-IX-	3	10-15	-0 09	11 42	+13	
80		6646	28-VII-1962	3	10-15	+0 10	11 46	+14	
81		6663	3-VII-	1	15	+1 21	19 59	+16	
82		6669	5-VII-	2	по -16	-0 32	13 14	+17	
83	14338	6108	29-VII-1960	1	31	+0 53	13 31	+23	
84		6488	7-IX-1961	1	33	+0 03	8 36	+16	
85		6650	29-VI-1962	1	30	-0 04	8 36	+13	
86	14831	6481	3-IX-1961	3	7-11	+0 34	9 40	+13	
87		6483	5-IX-	3	6-8	+0 04	7 01	+11	
88		14969	6132	16-VIII-1960	1	31	-1 13	13 16	+17
89		6489	7-IX-1961	1	30	+0 35	8 33	+13	
90		6491	8-IX-	1	30	-0 01	5 10	+14	
91	15184	6486	6-IX-1961	9	1-6	-0 11	15 46	+ 9	
92		6513	8-X-	6	1-3	+0 08	15 38	+ 7	
93	15679	6296	15-X-1960	1	60	+2 08	23 22	+10	
94		6505	1-X-1961	3	4-6	-0 58	10 56	+ 8	
95		6508	3-X-	3	7-9	+0 05	3 02	+ 7	
96		6512	6-X-1962	2	8:10	+0 07	3 14	+ 7	
97	16095	6484	5-IX-1961	5	4-9	-0 07	2 17	+ 11	
98		6492	8-IX	4	4-6	+0 06	2 17	+14	

Продолжение таблицы 1

№ п/п	№ ADS	№ плас-тинки	Дата снимка	Число изобр.	Экс. в мин.	Часовой угол	Зенит. расст.	Температура воздуха в башне
99	16474	6487	6-IX-1961	3	6-11	+0 ^h 02 ^m	13°19'	+13°
100		6490	7-IX	2	45	+0 06	13 22	+13
101		6506	1-X	3	5-9	+0 01	13 19	+ 7
102		6513	6-X	3	4-7	+0 08	13 20	+ 5

ное расстояние центра пластиинки для середины экспозиции, q — параллактический угол при центре пластиинки для того же момента.

K_1 и K_2 для контроля вычислялись также по формулам [41]:

$$k_1 = \tan t \cos d \sec(d - \delta_0)$$

$$k_2 = \tan(d - \delta_0), \quad \tan d = \tan \varphi \sec t.$$

Здесь t — часовой угол для центра пластиинки; φ — широта места. Величины K_3 и K_4 вычисляются из соотношения:

$$k_3 = 1 + k_1^2, \quad k_4 = 1 + k_2^2.$$

Вводя обозначения:

$$A = \beta \sin 1'' k_3, \quad B = \beta \sin 1'' k_1 (k_2 - \tan \delta),$$

$$C = \beta \sin 1'' k_1 (k_2 + \tan \delta) \text{ и } D = \beta \sin 1'' k_4$$

формулы (1) можно переписать в виде:

$$\Delta x = Ax + By,$$

$$\Delta y = Cx + Dy.$$

Формулами (1) можно пользоваться в тех случаях, когда ориентация пластиинок осуществляется по звездам, в случаях же ориентаций по следам они принимают более простой вид, на что нам указал А. А. Киселев.

В работах [37, 42] для нахождения коэффициентов A, B, C, D составлены таблицы. Мы поступили аналогичным образом (таблица 2). Коэффициенты A, B, C, D вычислены для следующих часовых углов: 0, 1, 2 и 3 часа и различных склонений от -20° до $+60^\circ$, через каждые 10° . Для этих же коэффициентов были составлены графики, которые даются на рисунках 1, 2, 3, 4.

С помощью таблицы 2 и графиков учет дифференциальной рефракции можно производить с точностью $\pm 0''.001$.

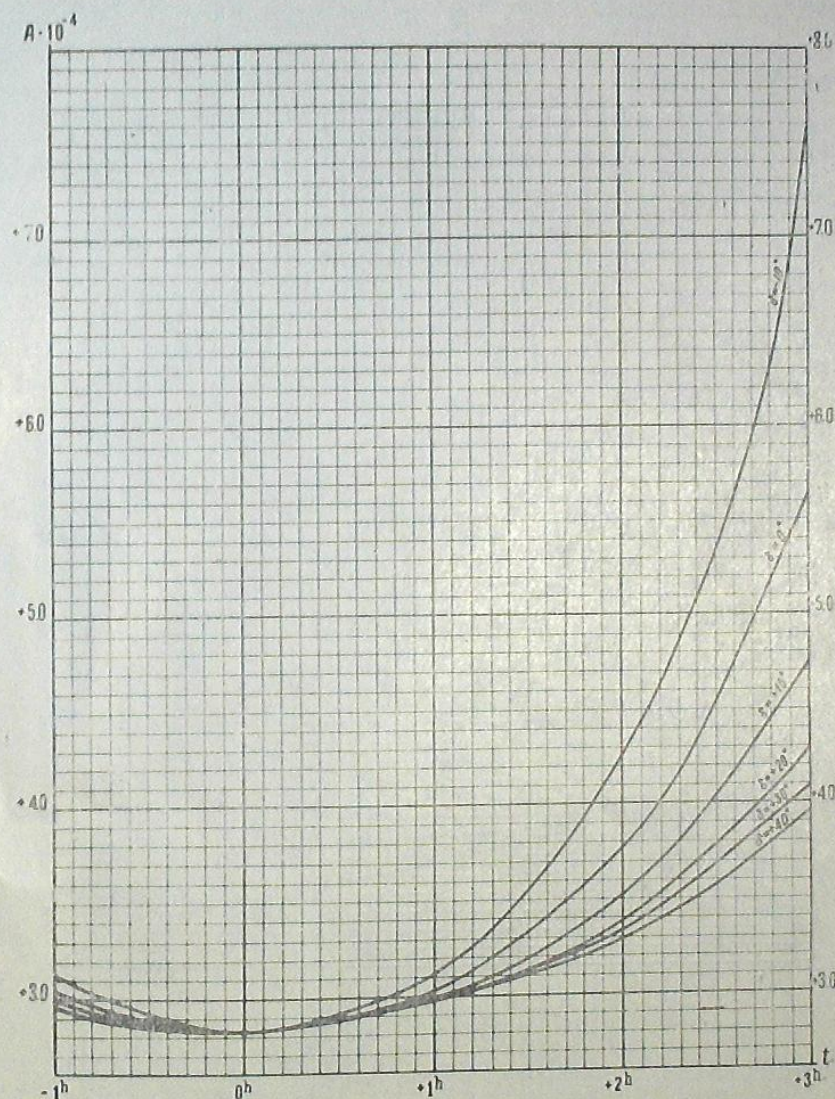
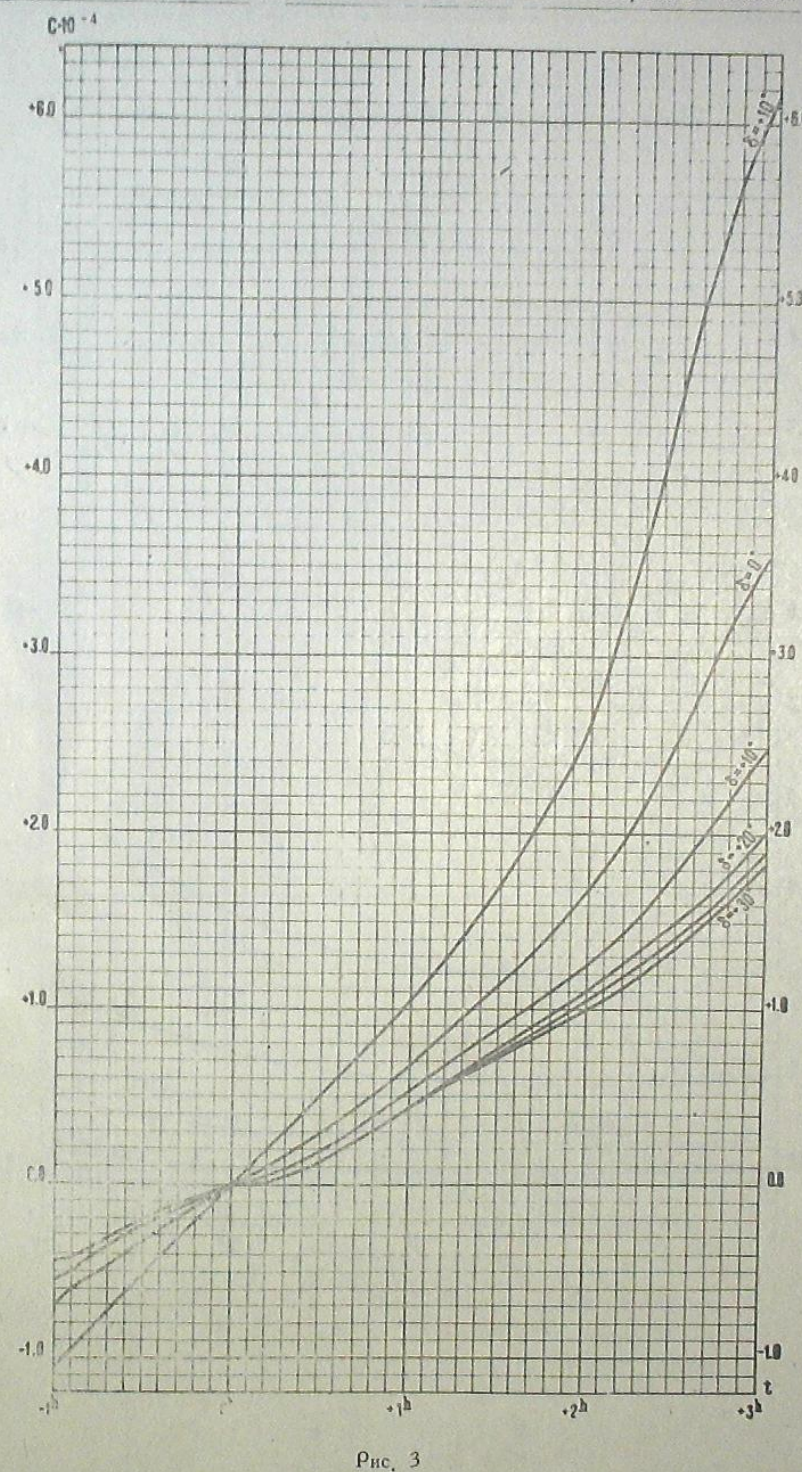
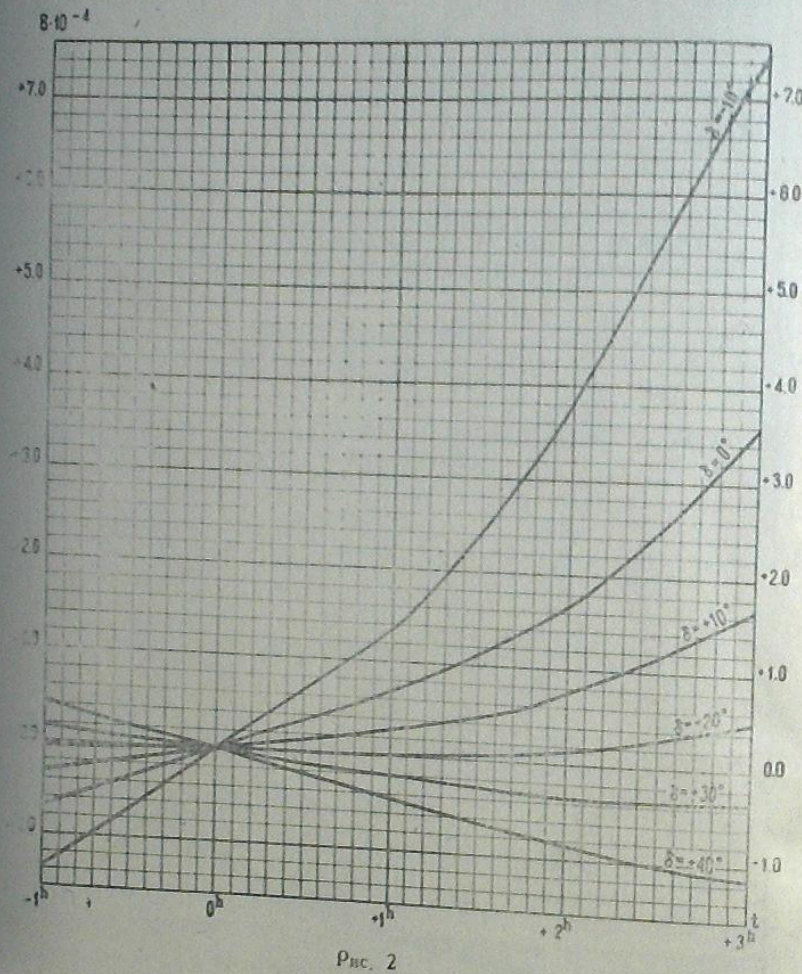


Рис. 1



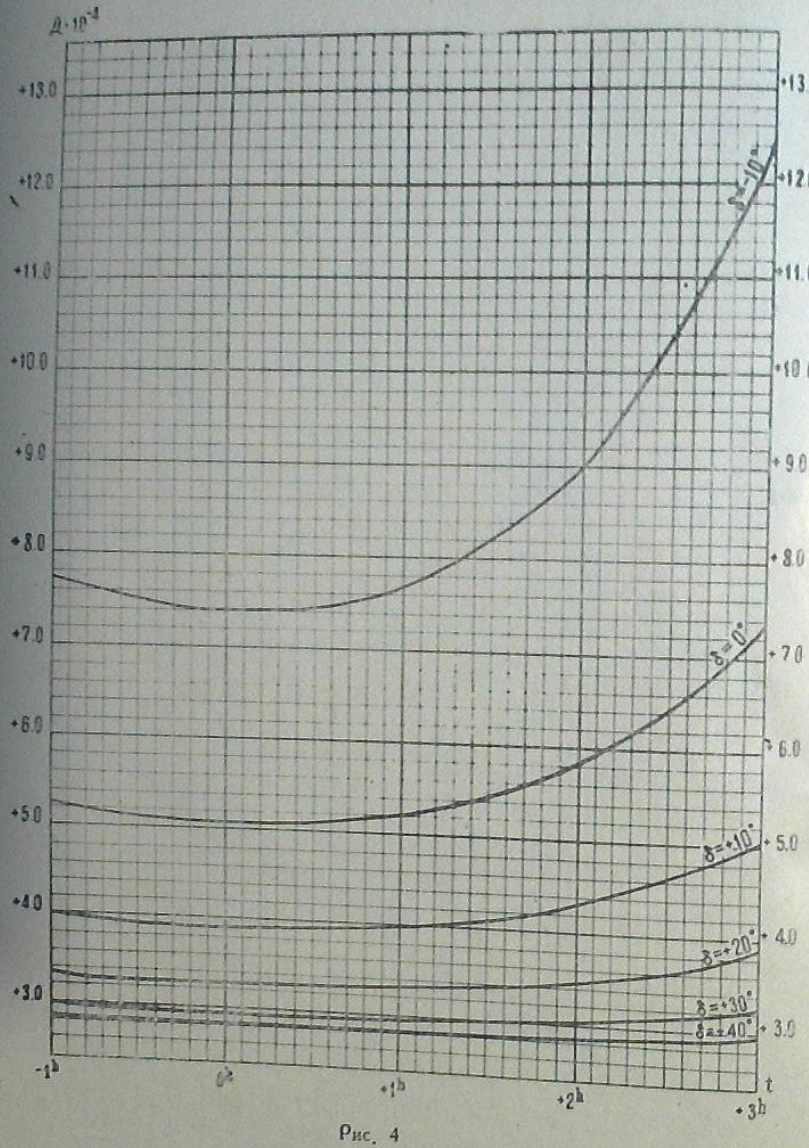


Таблица 2

Таблица коэффициентов A и B для учета линейных членов дифференциальной рефракции

δ	t = -1 ^h				t = 0 ^h				t = +1 ^h				t = +2 ^h				t = +3 ^h			
	A	k_3	$B k_1(k_2 - \operatorname{tg} \delta)$	A	k_3	$B k_1(k_2 - \operatorname{tg} \delta)$	A	k_3	$B k_1(k_2 - \operatorname{tg} \delta)$	A	k_3	$B k_1(k_2 - \operatorname{tg} \delta)$	A	k_3	$B k_1(k_2 - \operatorname{tg} \delta)$	A	k_3	$B k_1(k_2 - \operatorname{tg} \delta)$		
-20°	1.185	10^{-4}	-0.990	2.814 10^{-4}	0	3.334 10^{-4}	-2.786 10^{-4}	0.990	1.185	10^{-4}	5.534 10^{-4}	2.786 10^{-4}	1.9665	10^{-4}	2.551	4.8714	10^{-4}	6.632	10^{-4}	
-10°	3.334 10^{-4}	-2.786 10^{-4}	-0.485	1.106	0	1.106	0.485	1.106	3.122 10^{-4}	-1.369 10^{-4}	1.369 10^{-4}	4.271 10^{-4}	1.182	10^{-4}	1.182	13.708 10^{-4}	18.662 10^{-4}	2.648	10^{-4}	
0°	3.122 10^{-4}	-1.369 10^{-4}	0	1.072	0	1.072	0.248	1.072	3.029 10^{-4}	-0.701 10^{-4}	0.701 10^{-4}	3.337 10^{-4}	1.3332	10^{-4}	1.3332	2.7064 10^{-4}	7.040 10^{-4}	7.475 10^{-4}	10^{-4}	
+10°	3.029 10^{-4}	-0.701 10^{-4}	0	1.055	-0.109	1.055	0.109	1.055	2.982 10^{-4}	-0.308 10^{-4}	0.308 10^{-4}	3.768 10^{-4}	1.681 10^{-4}	1.681 10^{-4}	1.681 10^{-4}	5.652 10^{-4}	3.569 10^{-4}	1.263	10^{-4}	
+20°	2.982 10^{-4}	-0.308 10^{-4}	0	1.046	-0.012	1.046	0.012	1.046	2.958 10^{-4}	-0.034 10^{-4}	0.034 10^{-4}	3.392 10^{-4}	1.1996	10^{-4}	1.1996	0.153 10^{-4}	1.5316 10^{-4}	0.183	10^{-4}	
+30°	2.958 10^{-4}	-0.034 10^{-4}	0	1.041	0.071	1.041	-0.071	1.041	2.945 10^{-4}	-0.201 10^{-4}	0.201 10^{-4}	3.324 10^{-4}	1.1748	10^{-4}	1.1748	-0.122	4.331 10^{-4}	0.518 10^{-4}	10^{-4}	
+40°	2.945 10^{-4}	-0.201 10^{-4}	0	1.039	0.154	1.039	-0.154	1.039	2.939 10^{-4}	-0.436 10^{-4}	0.436 10^{-4}	3.291 10^{-4}	1.1634	10^{-4}	1.1634	-0.298	4.091 10^{-4}	0.312 10^{-4}	10^{-4}	
+50°	2.939 10^{-4}	-0.436 10^{-4}	0	1.039	0.262	1.039	-0.262	1.039	2.939 10^{-4}	-0.741 10^{-4}	0.741 10^{-4}	3.289 10^{-4}	1.1625	10^{-4}	1.1625	-0.510	3.966 10^{-4}	-1.137 10^{-4}	10^{-4}	
+60°	2.948 10^{-4}	0.421	0	1.042	0.421	1.042	-0.421	1.042	2.948 10^{-4}	-1.191 10^{-4}	1.191 10^{-4}	3.315 10^{-4}	1.1719	10^{-4}	1.1719	-0.822	3.920 10^{-4}	12.045 10^{-4}	10^{-4}	
																		-1.388 10^{-4}	-0.723	10^{-4}
																		1.3939 10^{-4}	-1.179	10^{-4}
																		3.943 10^{-4}	-3.335 10^{-4}	10^{-4}

Продолжение таблицы 2

Таблица коэффициентов C и D для учета линейных членов дифференциальной рефракции

δ	$t = -1^h$		$t = 0^h$		$t + 1^h$		$t + 2^h$		$t + 3^h$		
	$C k_1(k_2 + tg\delta)$	D	k_4	$C k_1(k_2 + tg\delta)$	D	k_4	$C k_1(k_2 + tg\delta)$	D	k_4	$C k_1(k_2 + tg\delta)$	D
-20°	$-0.678 \cdot 10^{-4}$	$4.768 \cdot 10^{-4}$	0	$12.562 \cdot 10^{-4}$	$1.908 \cdot 10^{-4}$	$13.417 \cdot 10^{-4}$	$4.768 \cdot 10^{-4}$	$1.835 \cdot 10^{-4}$	$5.977 \cdot 10^{-4}$	$5.200 \cdot 10^{-4}$	$10.041 \cdot 10^{-4}$
	$-1.908 \cdot 10^{-4}$	$13.417 \cdot 10^{-4}$	0	$2.609 \cdot 10^{-4}$	$0.370 \cdot 10^{-4}$	$2.728 \cdot 10^{-4}$	$0.930 \cdot 10^{-4}$	$15.164 \cdot 10^{-4}$	$15.820 \cdot 10^{-4}$	$14.633 \cdot 10^{-4}$	$28.255 \cdot 10^{-4}$
-10°	$-1.044 \cdot 10^{-4}$	$7.701 \cdot 10^{-4}$	0	$7.365 \cdot 10^{-4}$	$1.044 \cdot 10^{-4}$	$7.701 \cdot 10^{-4}$	$2.625 \cdot 10^{-4}$	$8.966 \cdot 10^{-4}$	$3.174 \cdot 10^{-4}$	$2.188 \cdot 10^{-4}$	$4.425 \cdot 10^{-4}$
	$-0.701 \cdot 10^{-4}$	$5.239 \cdot 10^{-4}$	0	$5.075 \cdot 10^{-4}$	$0.248 \cdot 10^{-4}$	$1.854 \cdot 10^{-4}$	$0.595 \cdot 10^{-4}$	$1.681 \cdot 10^{-4}$	$5.827 \cdot 10^{-4}$	$3.569 \cdot 10^{-4}$	$7.331 \cdot 10^{-4}$
0°	$-0.248 \cdot 10^{-4}$	$1.854 \cdot 10^{-4}$	0	$1.736 \cdot 10^{-4}$	$0.201 \cdot 10^{-4}$	$5.239 \cdot 10^{-4}$	$1.192 \cdot 10^{-4}$	$1.414 \cdot 10^{-4}$	$1.223 \cdot 10^{-4}$	$0.885 \cdot 10^{-4}$	$1.790 \cdot 10^{-4}$
	$-0.192 \cdot 10^{-4}$	$1.414 \cdot 10^{-4}$	0	$1.383 \cdot 10^{-4}$	$0.192 \cdot 10^{-4}$	$0.543 \cdot 10^{-4}$	$0.446 \cdot 10^{-4}$	$1.261 \cdot 10^{-4}$	$4.306 \cdot 10^{-4}$	$2.502 \cdot 10^{-4}$	$5.060 \cdot 10^{-4}$
$+10^\circ$	$-0.543 \cdot 10^{-4}$	$3.997 \cdot 10^{-4}$	0	$3.910 \cdot 10^{-4}$	$0.543 \cdot 10^{-4}$	$3.997 \cdot 10^{-4}$	$1.167 \cdot 10^{-4}$	$1.776 \cdot 10^{-4}$	$1.235 \cdot 10^{-4}$	$0.714 \cdot 10^{-4}$	$1.379 \cdot 10^{-4}$
	$-0.167 \cdot 10^{-4}$	$1.176 \cdot 10^{-4}$	0	$1.159 \cdot 10^{-4}$	$0.167 \cdot 10^{-4}$	$1.176 \cdot 10^{-4}$	$0.326 \cdot 10^{-4}$	$1.072 \cdot 10^{-4}$	$3.493 \cdot 10^{-4}$	$2.019 \cdot 10^{-4}$	$3.950 \cdot 10^{-4}$
$+20^\circ$	$-0.472 \cdot 10^{-4}$	$3.325 \cdot 10^{-4}$	0	$3.278 \cdot 10^{-4}$	$0.472 \cdot 10^{-4}$	$3.326 \cdot 10^{-4}$	$0.162 \cdot 10^{-4}$	$1.051 \cdot 10^{-4}$	$0.360 \cdot 10^{-4}$	$1.051 \cdot 10^{-4}$	$1.157 \cdot 10^{-4}$
	$-0.162 \cdot 10^{-4}$	$1.051 \cdot 10^{-4}$	0	$1.043 \cdot 10^{-4}$	$0.458 \cdot 10^{-4}$	$2.973 \cdot 10^{-4}$	$1.01 \cdot 10^{-4}$	$1.018 \cdot 10^{-4}$	$3.058 \cdot 10^{-4}$	$1.839 \cdot 10^{-4}$	$3.271 \cdot 10^{-4}$
$+30^\circ$	$-0.458 \cdot 10^{-4}$	$2.973 \cdot 10^{-4}$	0	$2.951 \cdot 10^{-4}$	$1.001 \cdot 10^{-4}$	$0.16 \cdot 10^{-4}$	$1.002 \cdot 10^{-4}$	$0.101 \cdot 10^{-4}$	$0.381 \cdot 10^{-4}$	$0.662 \cdot 10^{-4}$	$1.042 \cdot 10^{-4}$
	$-0.176 \cdot 10^{-4}$	$1.002 \cdot 10^{-4}$	0	$1.001 \cdot 10^{-4}$	$0.498 \cdot 10^{-4}$	$2.835 \cdot 10^{-4}$	$1.078 \cdot 10^{-4}$	$1.078 \cdot 10^{-4}$	$2.860 \cdot 10^{-4}$	$1.873 \cdot 10^{-4}$	$2.948 \cdot 10^{-4}$
$+40^\circ$	$-0.495 \cdot 10^{-4}$	$2.835 \cdot 10^{-4}$	0	$2.832 \cdot 10^{-4}$	$1.021 \cdot 10^{-4}$	$1.016 \cdot 10^{-4}$	$0.451 \cdot 10^{-4}$	$1.016 \cdot 10^{-4}$	$1.005 \cdot 10^{-4}$	$0.758 \cdot 10^{-4}$	$1.001 \cdot 10^{-4}$
	$-0.176 \cdot 10^{-4}$	$1.016 \cdot 10^{-4}$	0	$1.016 \cdot 10^{-4}$	$0.597 \cdot 10^{-4}$	$2.874 \cdot 10^{-4}$	$1.276 \cdot 10^{-4}$	$2.843 \cdot 10^{-4}$	$2.144 \cdot 10^{-4}$	$2.832 \cdot 10^{-4}$	$1.022 \cdot 10^{-4}$
$+50^\circ$	$-0.597 \cdot 10^{-4}$	$2.874 \cdot 10^{-4}$	0	$2.888 \cdot 10^{-4}$	$1.09 \cdot 10^{-4}$	$1.096 \cdot 10^{-4}$	$0.614 \cdot 10^{-4}$	$1.096 \cdot 10^{-4}$	$1.063 \cdot 10^{-4}$	$0.994 \cdot 10^{-4}$	$1.022 \cdot 10^{-4}$
	$-0.293 \cdot 10^{-4}$	$1.096 \cdot 10^{-4}$	0	$1.09 \cdot 10^{-4}$	$0.829 \cdot 10^{-4}$	$3.137 \cdot 10^{-4}$	$1.101 \cdot 10^{-4}$	$1.737 \cdot 10^{-4}$	$3.007 \cdot 10^{-4}$	$2.812 \cdot 10^{-4}$	$2.891 \cdot 10^{-4}$

§ 3. Определение масштаба пластиинки

В задаче определения относительных положений двойных и кратных звезд одним из главных вопросов является точное определение масштаба на фотопластинке.

Масштаб определялся по специальным масштабным снимкам в зависимости от температуры. Для этого были использованы 5 пластиинок с галактическим скоплением М34, снятых при разных температурах. Положения звезд скопления определены фотографическим методом и даны в работе [43].

Обзор использованного с этой целью наблюдательного материала дается в таблице 3.

Таблица 3

№	№№	Дата	Часовой	Зенитное	Темпер.	Экспоз.
пп	пластиинок	снимка	угол	расстоян.	по С	в мин.
1	5895	30-X-1959	$+0^h18^m$	$3^{\circ}30'$	$+3^{\circ}$	10
2	5944	5.XI.	$-0^h02'$	$0^{\circ}57'$	$+8'$	15
3	5958	1.III.	$+1^h49'$	$20^{\circ}09'$	$-7'$	8
4	6209	2.IX-1960	$+0^h03'$	$1^{\circ}03'$	$+13'$	6
5	6516	7.X-1961	$+0^h02'$	$0^{\circ}57'$	$+5'$	6

На каждой пластиинке взято по 14 звезд, расположенных по возможности равномерно по полю пластиинки. Измерения звезд комбинировались в пары, таким образом, чтобы расстояния между ними были максимальными. Причем, для исключения уравнения яркости комбинировались в пары звезды с небольшими разностями в звездных величинах. Пары звезд для определения масштаба даются на рис. 5, а их точные положения — в таблице 4.

Таблица 4

Пары	№№ по каталогу	Визуальные звезды велич.	a_{1923}	δ_{1923}	Sp	BD
(1)-(2)	62 165	8.48 9.56	2 36 2 38	42.641 35.432	+42 16 42 27	23"88 15.71
(3)-(4)	171 90	8.89 8.52	2 38 2 37	42.484 06.948	42 18 42 28	11.13 09.95
(5)-(6)	150 74	10.28 10.46	2 38 2 36	02.193 51.722	42 17 42 27	36.74 03.69
(7)-(8)	129 118	10.97 11.45	2 37 2 37	39.999 26.447	42 16 42 33	54.89 36.12
(9)-(10)	99 116	9.89 10.45	2 37 2 37	14.602 24.424	42 13 42 33	36.99 37.90
(11)-(12)	113 137	11.09 11.45	2 37 2 37	23.497 48.998	42 18 42 30	04.80 36.67
(13)-(14)	96 162	9.72 10.63	2 37 2 38	12.038 28.879	42 25 42 28	A5 G5

Масштаб на пластиинке определялся как отношение вычисленных угловых расстояний между звездами к измеренным в линейной мере.

Угловые расстояния между парами в проекции на плоскость пластины вычислялись по формуле

$$\rho = \sqrt{\Delta x^2 + \Delta y^2},$$

где Δx и Δy — разности между тангенциальными координатами. Тангенциальные координаты вычислялись по формуле [40]:

$$x = T \cos(\delta + \varepsilon) \sec(\delta - D + \alpha),$$

$$y = (\delta - D + \varepsilon) + \tau' \delta$$

$$\sin^2 \frac{\alpha - A}{2}$$

$$\varepsilon'' = \frac{\sin 1''}{\sin 1''} \sin 2\delta, \quad T = \tan(\alpha - A) = (\alpha - A) + \tau'.$$

При вычислениях использовались Бергедорфские таблицы. Все масштабные снимки были измерены на том же измерительном приборе КИМ-3. Пластины измерялись в двух положениях, отличающихся на 180° друг от друга, с применением реверсионной призмы, при этом серия измерений выполнялась повторно, так, что наведение на каждую звезду делалось 8 раз.

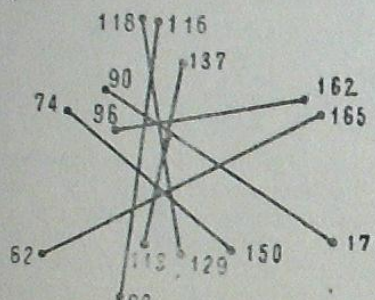


Рис. 5

В измеренные координаты вводились поправки за ошибки шкала измерительного прибора.

Как видно из таблицы 3, все масштабные пластины были получены вблизи меридиана, кроме пластины № 5958. При обработке этой пластины измеренные координаты были введены поправки за дифференциальную рефракцию 1-го порядка.

Результаты обработки для всех 7 пар, по всем пластинаам, даются в таблице 5.

Таблица 5

№ звездной пары	Масштаб по пластинкам				
	5895	5944	3958	6209	6516
(1)—(2)	$30''.604$	$30''.600$	$30''.598$	$30''.588$	$30''.596$
(3)—(4)	$.596$	$.590$	$.595$	$.591$	$.590$
(5)—(6)	$.592$	$.589$	$.596$	$.597$	$.589$
(7)—(8)	$.590$	$.588$	$.601$	$.588$	$.588$
(9)—(10)	$.583$	$.586$	$.589$	$.584$	$.586$
(11)—(12)	$.590$	$.599$	$.598$	$.589$	$.595$
(12)—(14)	$.595$	$.596$	$.600$	$.593$	$.594$

Средние значения масштаба по пластинаам даются в таблице 6.

Таблица 6

№№ пластины	Масштаб	t
5895	$30''.593 \pm 0''.0024$	+ 3°
5944	$30''.592 \pm 0.0022$	+ 8
5958	$30''.597 \pm 0.0016$	- 7
6209	$30''.590 \pm 0.0020$	+ 13
6516	$30''.592 \pm 0.0017$	+ 5

Как видно из таблицы 6, при изменении температуры на 20°C , масштаб изменяется на $0''.007$.

Зависимость масштаба от температуры представлена графически на рис. 6.

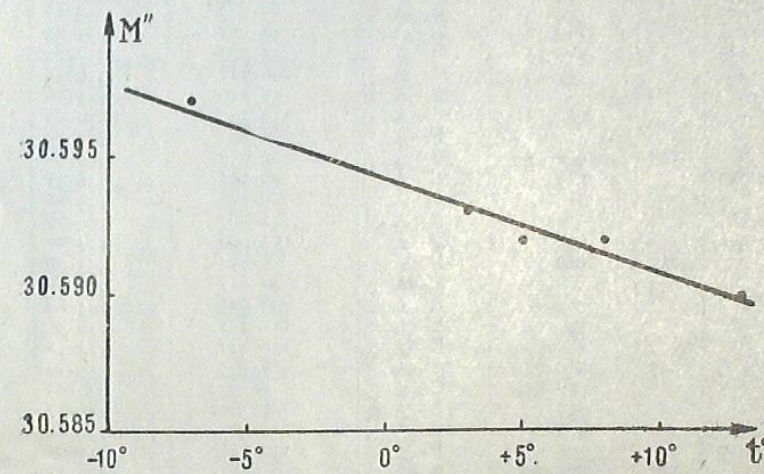


Рис. 6

Небезынтересно заметить, что масштаб 380-см астрографа Московской обсерватории, имеющего близкое к нашему рефрактору фокусное расстояние, при изменении температуры на 30°C , изменяется примерно на $\pm 0''.008$ [44].

§ 4. Результаты измерений

В таблице 7 мы приводим результаты измерений относительных положений для каждой кратной системы по всем изображениям, для каждой пластины в отдельности.

При фотографических измерениях двойных или кратных звезд существенными источниками систематических ошибок являются уравнение блеска и атмосферная дисперсия.

Для исключения ошибки, порождаемой первым источником, применяются объективные дифракционные решетки, дающие разницы на 1, 2, 3, и 4 звездных величины. Ввиду неимения решетки, результаты наших измерений отягощены этой систематической ошибкой.

Таблица 7

№ п/п	ADS	№ пл.	Эпоха наблюдения		P	θ
1	307	5887	1959-83	В-А	9° 468'	82.921
				С-А	23.596	55.75
				Д-А	44.690	81.10
2	6305		1960-79	В-А	9.697	82.97
				С-А	23.443	56.21
				Д-А	44.870	81.38
3	6493		1961-69	В-А	9.696	82.47
				С-А	23.534	55.85
				Д-А	44.762	81.07
4	6514		1961-76	В-А	9.586	82.28
				С-А	23.433	55.61
				Д-А	44.551	81.45
5	423	6239	1960-73	В-А	5.602	352.80
				С-А	46.712	336.45
				Д-А	51.240	145.26
				Е-А	112.380	170.99
6	6240		1960-73	Ф-А	152.141	114.74
				В-А	5.657	352.72
				С-А	46.792	336.57
				Д-А	50.148	145.28
7	6253		1960-74	Е-А	112.507	170.78
				Ф-А	152.006	114.86
				В-А	5.754	353.30
				С-А	46.847	336.43
8	6255		1960-74	Д-А	50.925	145.24
				Е-А	112.281	170.95
				Ф-А	152.131	114.72
				В-А	5.675	353.23
				С-А	46.952	336.86
9	6502		1961-72	Д-А	51.062	145.27
				Е-А	112.403	170.80
				Ф-А	152.046	115.04
				В-А	6.082	353.12
				С-А	46.838	336.47
10	6509		1961-76	Д-А	51.014	145.62
				Е-А	112.328	170.85
				Ф-А	152.090	114.88
				В-А	6.161	352.90
11	1209	6246	1960-73	С-А	46.944	336.52
				Д-А	51.118	145.42
				Е-А	112.337	170.91
12	6307		1960-79	Ф-А	152.192	114.80
				В-А	13.843	142.28
13	6487		1961-68	С-А	28.258	145.70
				Д-А	13.941	142.96
14	6494		1961-69	Е-А	28.341	146.40
				Б-А	13.880	142.27
15	6510		1961-76	С-А	28.289	145.77
				Д-А	13.757	142.35
16	6515		1961-77	Б-А	28.268	146.37
				С-А	13.857	142.63
17	1823	5926	1959-93	Б-А	13.984	146.37
				С-А	28.237	142.27
18	6271		1960-76	Б-А	6.680	145.74
				С-А	15.382	168.70
				Б-А	6.720	24.78
				С-А	15.489	169.30
					23.99	

Продолжение таблицы 7

№ п/п	ADS	№ пл.	Эпоха наблюдения		Z	θ
19		6272	1960-76	В-А	6° 819	169.40
				С-А	15.544	23.61
20		6306	1960-80	В-А	6.570	168.66
				С-А	15.284	24.55
21	1877	6221	1960-73	В-А	14.752	103.94
				А'-А	39.982	262.94
				Б'-А	53.171	252.36
22		6495	1961-69	В-А	14.850	103.90
				А'-А	39.049	262.97
				Б'-А	53.155	252.37
23		6503	1961-72	В-А	14.740	203.97
				А'-А	39.009	262.90
				Б'-А	53.213	252.35
24	2135	5926	1959-83	В-А	11.273	—
				С-А	24.378	—
				Д-А	33.516	—
25		6309	1960-80	В-А	11.388	—
				С-А	24.291	—
				Д-А	33.392	—
26		6511	1961-76	В-А	11.378	285.63
				С-А	24.456	21.20
				Д-А	33.411	66.65
27		6534	1961-93	В-А	11.436	285.46
				С-А	24.306	20.87
				Д-А	33.374	66.55
28		6748	1962-83	В-А	11.390	285.55
				С-А	24.401	21.01
				Д-А	33.587	66.42
29	2984	6314	1960-80	В-А	17.854	303.55
				С-А	138.724	77.16
				Д-А	11.127	4.76
				Е-А	36.479	319.08
				В-А	17.800	304.13
				С-А	138.522	77.12
				Д-А	10.983	4.16
				Е-А	36.525	319.31
30		6335	1960-82	В-А	17.866	303.63
				С-А	138.531	77.12
				Д-А	10.900	4.63
				Е-А	36.516	318.95
31		6504	1961-72	В-А	17.830	303.67
				С-А	138.543	77.05
				Д-А	17.888	304.05
32		6519	1961-79	В-А	17.980	303.97
				С-А	138.688	77.15
				Д-А	11.047	4.46
				Е-А	36.641	318.72
33		6522	1961-80	В-А	17.888	—
		6535	1961-93	В-А	17.980	—
				С-А	138.688	—
34				Д-А	11.047	—
				Е-А	36.641	—
35	3579	5896	1969-83	В-А	39.190	—
				С-А	54.226	—
				Д-А	39.251	305.10
36		6520	1961-79	В-А	54.315	88.83
				С-А	39.340	305.05
		6523	1961-80	В-А	54.171	88.93
37				С-А	39.269	305.23
		6536	1961-93	В-А	54.220	88.88
38		6536	1960-81	В-А	17.414	—
		6327	1960-81	С-А	48.588	—
39	3940			В-А	17.395	—
		6328	1960-81	С-А	48.646	—
40						

Продолжение таблицы 7

№ п/п	ADS	№ пл.	Эпоха наблюдения		P	θ
41		6521	1961-79	B-A	17° 364	68° 68
				C-A	48° 634	154° 27
42		6537	1961-93	B-A	17° 401	68° 77
		6542	1961-94	C-A	48° 683	154° 32
43				B-A	17° 251	68° 97
				C-A	48° 719	154° 33
44	4962	6538	1961-93	B-A	59° 402	258° 26
				C-A	46° 673	253° 78
				D-A	265° 476	23° 63
				E-A	84° 232	255° 18
45		6543	1961-94	B-A	59° 482	258° 28
				C-A	46° 611	253° 84
				D-A	265° 410	23° 58
46	5008	5959	1956-92	E-A	84° 203	235° 15
				B-A	7° 492	—
				C-A	15° 146	—
47		6000	1960-07	B-A	7° 514	—
				C-A	15° 104	—
48		6584	1962-09	B-A	7° 621	318° 68
				C-A	15° 241	323° 87
49		6588	1962-11	B-A	7° 456	319° 20
				C-A	15° 302	324° 05
50		6589	1962-10	B-A	7° 358	318° 80
				C-A	15° 235	323° 82
51	6366	6393	1961-01	B-A	17° 245	9° 85
				C-A	25° 407	88° 63
52		6539	1961-93	B-A	17° 163	9° 63
				C-A	25° 568	89° 05
53		6544	1961-95	B-A	17° 108	9° 91
				C-A	25° 524	89° 32
54		6569	1962-01	B-A	17° 205	9° 42
				C-A	25° 474	88° 54
55	10489	6570	1962-04	B-A	17° 180	9° 70
		6642	1962-48	B-A	4° 670	269° 36
56				C-A	10° 438	63° 77
57		6643	1962-48	B-A	9° 762	269° 33
58		6644	1962-49	B-A	10° 402	63° 15
				C-A	9° 683	269° 88
59		6647	1962-49	B-A	10° 396	63° 15
				C-A	9° 793	268° 90
60	10637	6131	1960-62	B-A	10° 230	63° 63
				C-A	12° 641	—
61		6507	1961-76	B-A	14° 853	—
				C-A	12° 509	275° 42
62		6651	1962-50	B-A	14° 770	250° 52
				C-A	12° 626	274° 71
63		6653	1962-50	B-A	14° 813	250° 72
				C-A	12° 534	275° 66
64		6670	1962-52	B-A	14° 917	250° 90
				C-A	12° 629	274° 72
65	11168	6102	1960-58	B-A	14° 734	250° 96
				C-A	7° 731	—
66		6111	1960-58	B-A	13° 549	—
				C-A	7° 627	—
67		6648	1962-50	B-A	13° 675	—
				C-A	7° 578	—
					13° 632	121° 90
						238° 51

Продолжение таблицы 7

№ п/п	ADS	№ пл.	Эпоха наблюдения		Z	θ
68		6652	1962-50	B-A	7° 654	121° 42
				C-A	13° 556	238° 40
69		6654	1962-50	B-A	7° 599	122° 13
				C-A	13° 616	238° 76
70		6659	1962-51	B-A	7° 688	122° 15
				C-A	13° 562	238° 46
71		6668	1962-52	B-A	7° 703	121° 74
				C-A	13° 534	238° 27
72	11179	6645	1962-49	B-A	31° 260	100° 23
				C-A	40° 218	122° 73
73		6649	1962-50	B-A	31° 248	99° 90
				C-A	40° 242	122° 97
74		6655	1962-50	B-A	31° 165	99° 88
				C-A	40° 346	122° 53
75		6671	1962-52	B-A	31° 190	100° 07
				C-A	40° 239	122° 67
76	13117	6170	1960-64	B-A	9° 452	22° 78
				C-A	16° 277	176° 05
77		6480	1961-67	B-A	9° 307	21° 92
		6482	1961-68	B-A	9° 358	22° 32
78	13117	6485	1961-68	B-A	9° 351	22° 67
				C-A	16° 290	176° 55
79		6646	1962-49	B-A	9° 320	22° 67
				C-A	16° 287	176° 24
80		6663	1962-51	B-A	9° 303	22° 22
				C-A	16° 250	176° 90
81		6669	1662-52	B-A	9° 389	21° 93
				C-A	16° 265	177° 05
82		14338	6108	B-A	12° 151	—
				C-A	18° 669	—
83		6488	1961-68	B-A	12° 339	240° 52
				C-A	18° 764	142° 47
84		6650	1962-50	B-A	12° 253	240° 65
				C-A	18° 665	142° 97
85		14831	6481	B-A	15° 267	219° 87
				C-A	21° 739	182° 20
86		6483	1961-68	B-A	15° 324	220° 32
				C-A	21° 696	182° 86
87		14969	6132	B-A	33° 358	—
				C-A	53° 480	—
88		6489	1962-69	B-A	33° 383	28° 82
				C-A	53° 424	98° 77
89		6491	1961-69	B-A	33° 272	28° 82
				C-A	53° 390	98° 82
90		15184	6486	B-A	11° 904	120° 16
				D-A	19° 824	339° 13
91		6513	1961-13	B-A	11° 899	120° 30
				D-A	19° 732	339° 03
92		6296	1960-79	B-A	27° 247	—
				C-A	43° 523	—
93		6505	1961-75	B-A	27° 160	110° 30
		6508	1961-70	C-A	27° 197	110° 20
94	15679	6512	1961-76	B-A	27° 111	110° 00
		6484	1961-68	B-A	22° 556	185° 45
95		6509	1961-75	C-A	48° 875	168° 37
				D-A	81° 793	144° 23
96		16095	—			
97						

Продолжение таблицы 7

№ п/п	ADS	№ на.	Эпоха наблюдения		ρ	Θ
98		6492	1961-80	В—А	22.495	185.60
				С—А	48.912	168.37
				Д—А	81.854	144.23
99	16474	6487	1961-68	В—А	19.484	49.72
				С—А	56.022	80.10
100		6490	1961-68	В—А	19.466	49.93
				С—А	56.067	80.20
101		6506	1961-75	В—А	19.444	49.65
				С—А	56.089	80.20
102		6513	1961-76	В—А	19.433	49.45
				С—А	56.049	80.22

Влияние атмосферной дисперсии, вызываемой изменением коэффициента рефракции в зависимости от длины светового луча, проходящего сквозь атмосферу, почти полностью исключается применением визуального рефрактора в соединении с чувствительной к желтым лучам пластиинкой и с соответствующим фильтром. Употребляя такую комбинацию, мы пропускаем небольшой участок спектра около длины волны 5500 ангстрем. В этом случае эффективные длины волн разных спектральных классов оказываются весьма близкими друг к другу, поэтому влияние атмосферной дисперсии оказывается настолько малым, что можно пренебречь при всех случаях, встречающихся на практике.

Мы не вводили никаких поправок за атмосферную дисперсию, поскольку составляющие звезды наблюдаемых нами кратных систем, почти одинакового спектрального класса, и, применяемая для наблюдений комбинация: объектив, фотопластинка и светофильтр, пропускает узкую полосу спектра с эффективной длиной волны 5500 ангстрем.

По исследованиям Ван-ден Боса и Странда при употреблении инструментов с фокусным расстоянием 10 м, при хороших атмосферных условиях экспонирования, систематические ошибки, обусловленные эффектом С. К. Костинского, Эберхардта и эффектом желатины, не будут существовать для пар, разделенных расстоянием $3''$ и $\Delta t < 1''$ [45]. В нашем случае, в шести случаях расстояние между парами находится от 6 до 10 секунд дуги, а в остальных — даже больше, поэтому естественно, что систематические ошибки, обусловленные вышеперечисленными фотографическими эффектами, не будут существовать.

Средняя квадратическая ошибка результатов измерений в разностях координат ΔX и ΔY по одному изображению, выведенная по уклонениям от среднего из трех, из шести и из девяти изображений на одной пластиинке соответственно равна: $\pm 0''.128$ ($\pm 4.3\mu$), $\pm 0''.095$ ($\pm 3.1\mu$) и $\pm 0''.086$ ($\pm 2.8\mu$).

Для сравнения укажем, что эта ошибка для астрографа Московской обсерватории (фок. расст.=6.4 м) колеблется в пределах $0''.062$ — $0''.096$ (2.0μ — 3.0μ) [37], для рефрактора Дирборнской обсерватории равна $\pm 0''.074$ (2.5μ) [36], а для нормального астрографа Пулковской обсерватории $\pm 0''.081$ (1.3μ) [33].

В таблице 9 (Глава III) представлены окончательные результаты определения расстояний и позиционных углов для каждой кратной системы. Ошибки даны средние квадратические.

Считаем нужным отметить, что при отождествлении двух кратных систем AD 2984 и 16474, в новом каталоге Эйткена [16] мы обнаружили две ошибки.

Для кратной системы ADS 2984 в ADS даны следующие значения позиционных углов и расстояний:

ADS	AB	AD	BD	BE
2984	$303^{\circ} 7' 17'' .94$	$76^{\circ} 7' 138'' .83$	$84^{\circ} 4' 14'' .60$	$331^{\circ} 6' 20'' .00$

Как видно из этой таблицы, для отождествления D-компоненты даны два положения AD и BD, которые для D дают совершенно различные положения. В каталоге Эйткена там, где даются данные для AD, имеется или опечатка или ошибка, и вместо AD должно быть AC. В наших таблицах для кратной системы ADS 2984 везде вместо AD фигурирует AC.

В случае кратной системы ADS 16474 для относительного положения C-компоненты даны значения $\rho=20''$ и $\Theta=260^{\circ}$, причем В и С примерно одинакового блеска. На наших многочисленных фотографиях этой системы на том месте, где согласно ADS должна быть звезда С, вообще не получается никакая звезда, в то время, как на том же расстоянии, но при отличном на 180° позиционном угле, получается звезда примерно такого же блеска, как и звезда В. Поэтому мы считаем, что в каталоге Эйткена имеется ошибка и позиционный угол между А—С должен быть не 260° , а 80° .

То обстоятельство, что в каталоге Эйткена встречаются ошибки, отмечалось и другими авторами. В работе [46] авторы находят ряд ошибок: неправильное отождествление пар, искажение при этом координат звезд и позиционного угла, смещение наблюдений различных наблюдателей; подробно разбираются ошибки относительно ADS 16990 и 17013.

§ 5. Сравнение результатов наших наблюдений с наблюдениями, выполненными на других обсерваториях

Для более полной характеристики результатов наших наблюдений полезно установить их согласие с наблюдениями на других обсерваториях.

С этой целью для 24 кратных систем, наблюденных нами, мы собрали известный по литературе наблюдательный материал, при этом основным источником нам служил каталог ADS, данные которого были дополнены более поздними наблюдениями этих систем. На основании всех данных были построены диаграммы (рис. 7—57).

На этих диаграммах даны следующие обозначения: точки и крестики — наблюденные визуальные расстояния и позиционные углы, соответственно; точки и крестики, помещенные в прямоугольники — те же величины, определенные фотографическим методом на других обсерваториях; точки и крестики в кругу — те же величины, определенные нами.

Как видно из рассмотрения указанных диаграмм, наблюдения кратных звезд ведутся весьма редко. В основном, они наблюдаются визуально и то A и B компоненты в ярких кратных системах. Слабые компоненты наблюдаются очень редко.

Фотографические наблюдения для наших кратных систем почти не существуют. Только для следующих трех систем: ADS 2984, 3579 и 16095 имеются несколько фотографических наблюдений [47, 48, 49, 50].

Из вышеуказанного следует, что наблюдательный материал, годный для сравнения с результатами наших наблюдений, крайне беден. Но все-таки можно сказать, результаты наших измерений близки к фотографическим определениям на других обсерваториях (см. рис. 24, 26, 27, 54).

Мы пытались оценить систематические ошибки определения расстояния и позиционных углов. О величине этих ошибок сказать что-либо определенное очень трудно, опять-таки из-за скучности наблюдательного материала для сравнения. Но, если они имеются, во всяком случае они невелики.

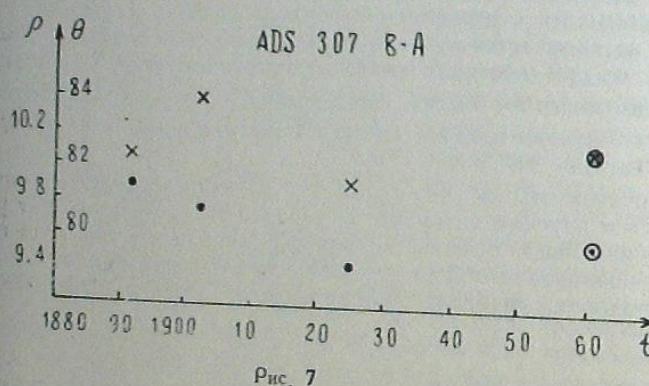


Рис. 7

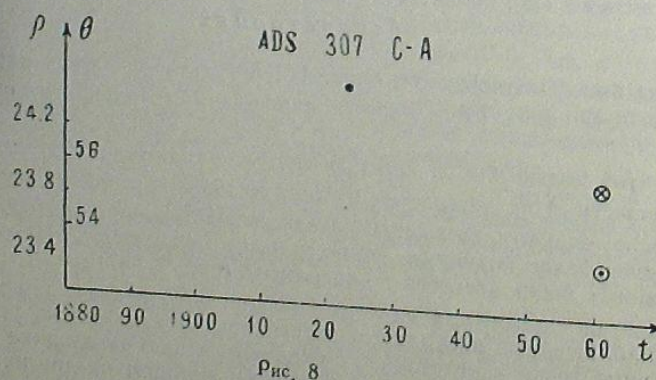


Рис. 8

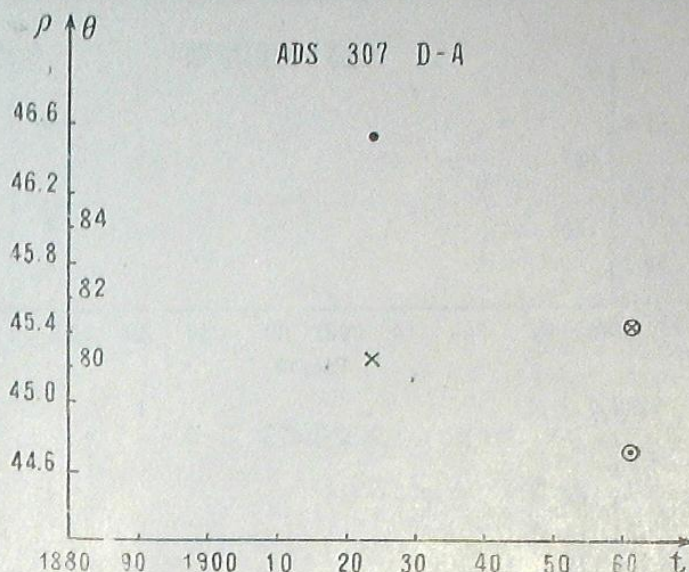


Рис. 9.

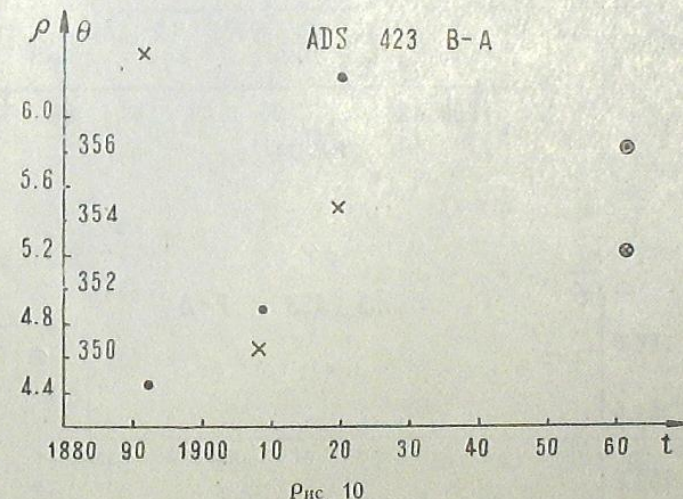


Рис. 10

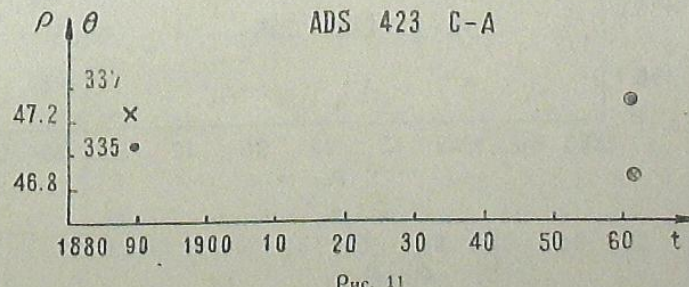


Рис. 11

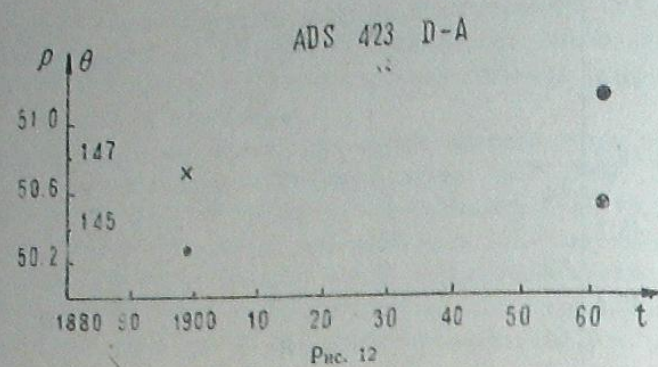


Рис. 12

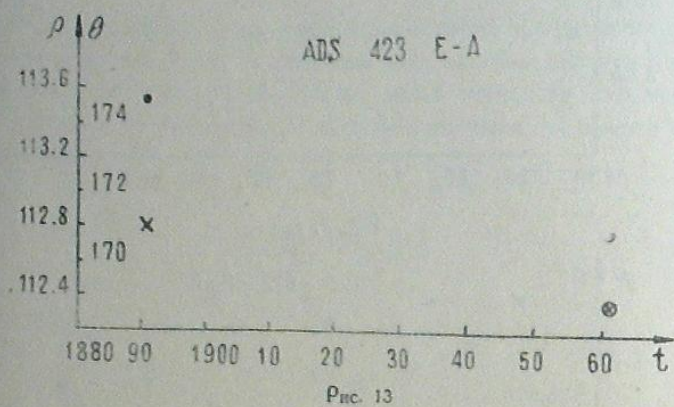


Рис. 13

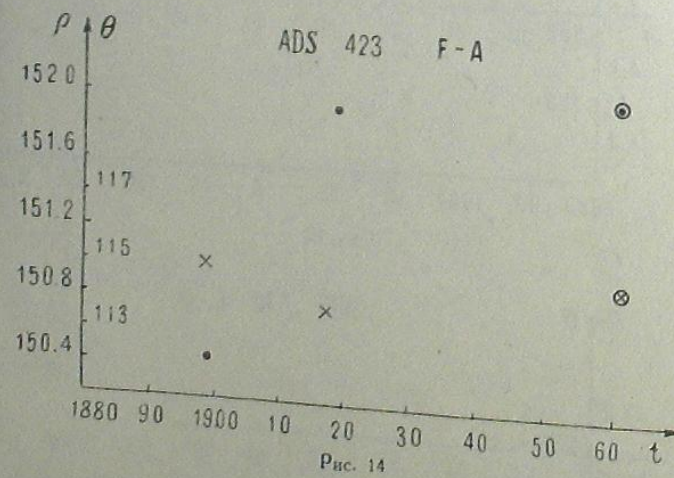


Рис. 14

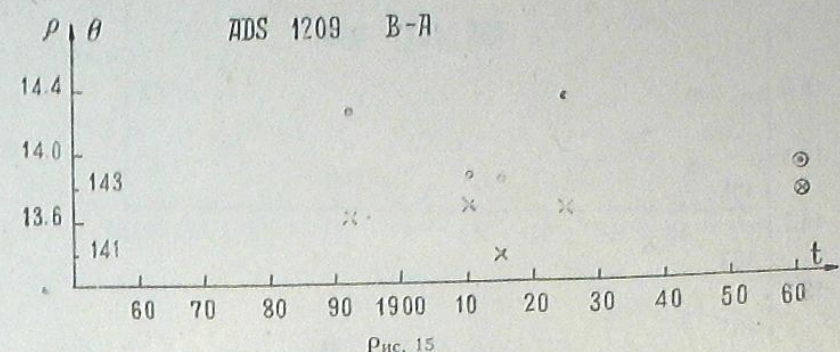


Рис. 15

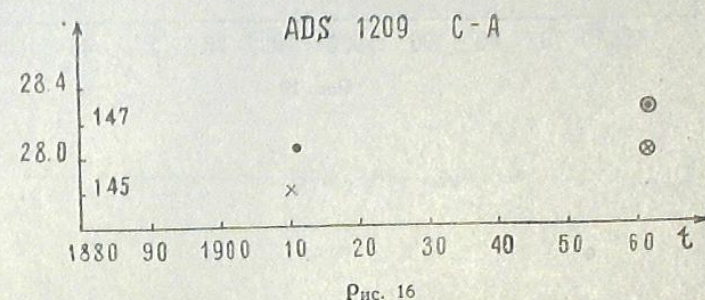


Рис. 16

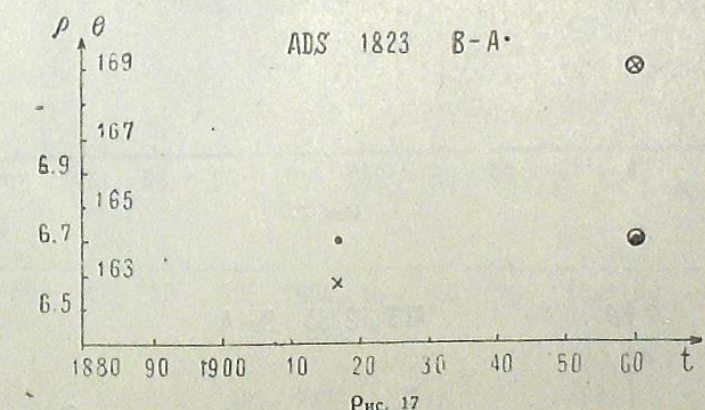


Рис. 17

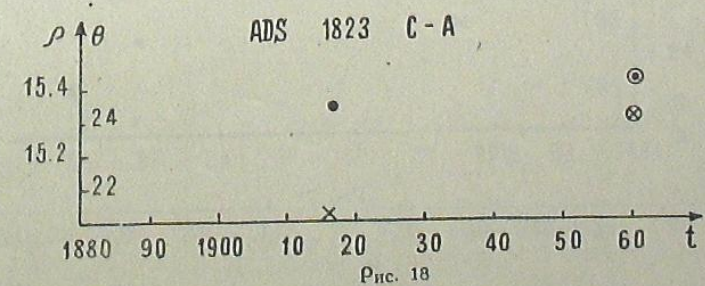


Рис. 18

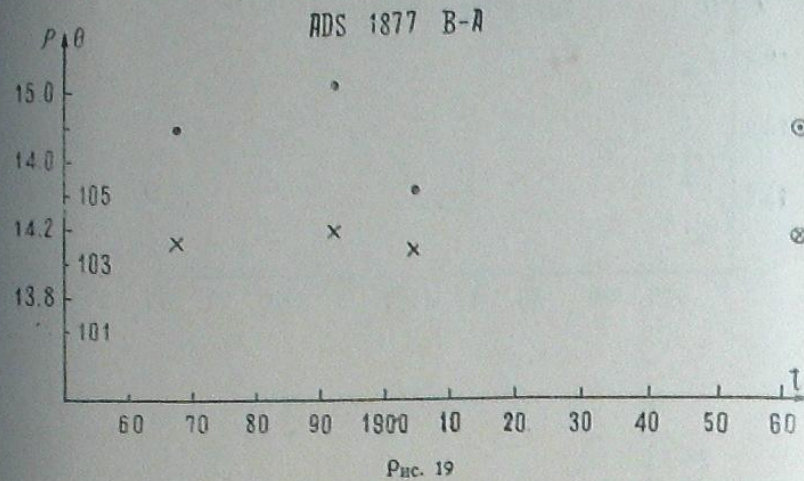


Рис. 19

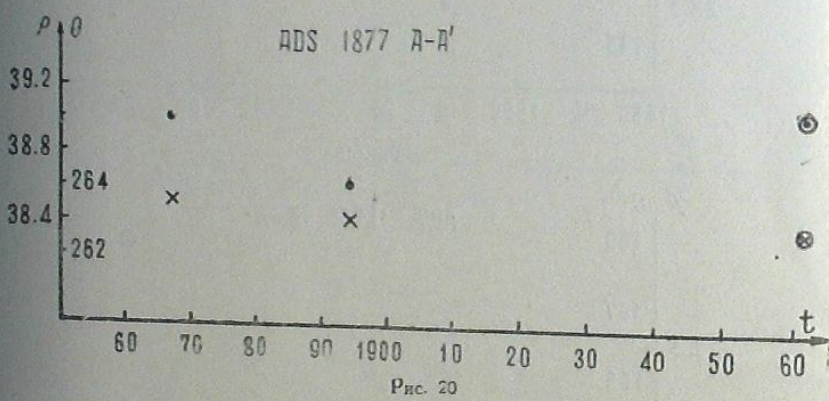


Рис. 20

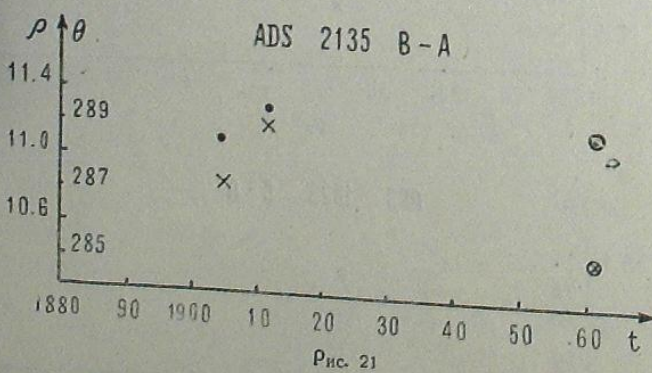


Рис. 21

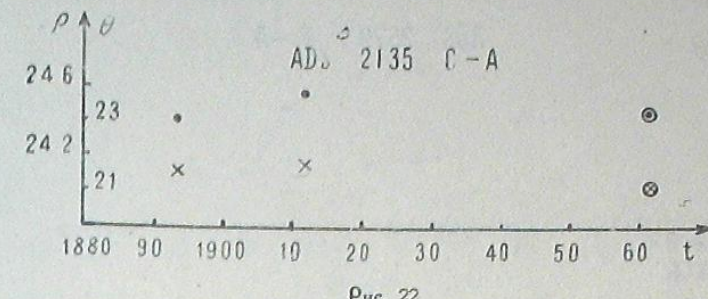


Рис. 22

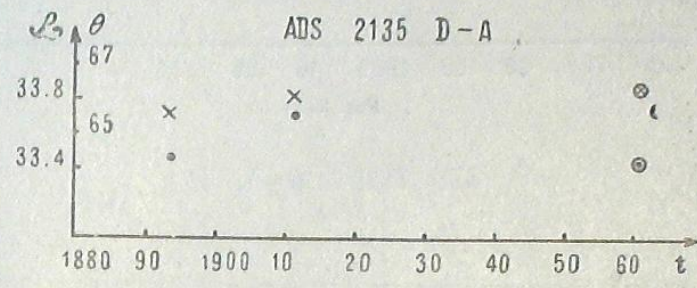


Рис. 23

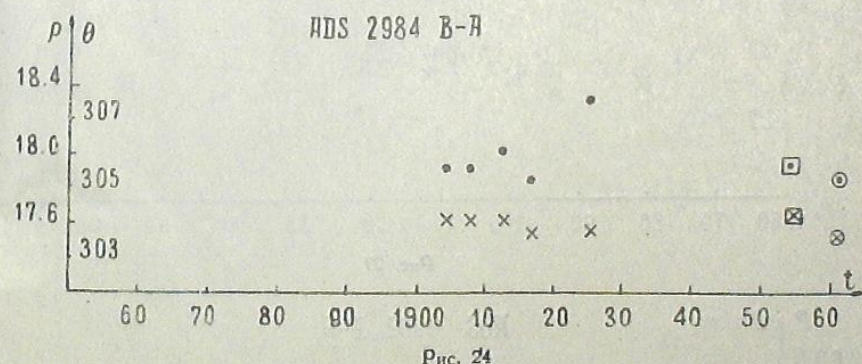


Рис. 24

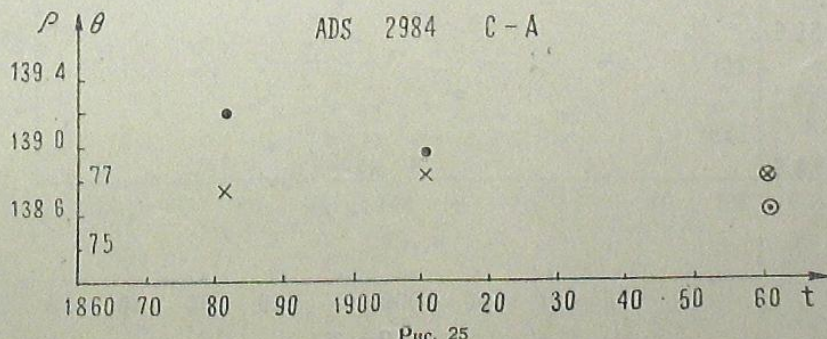
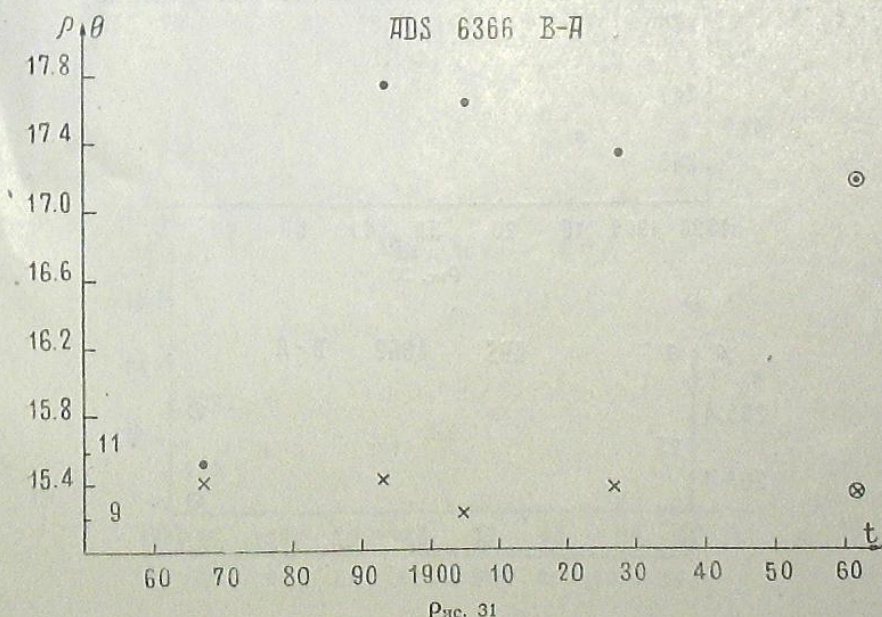
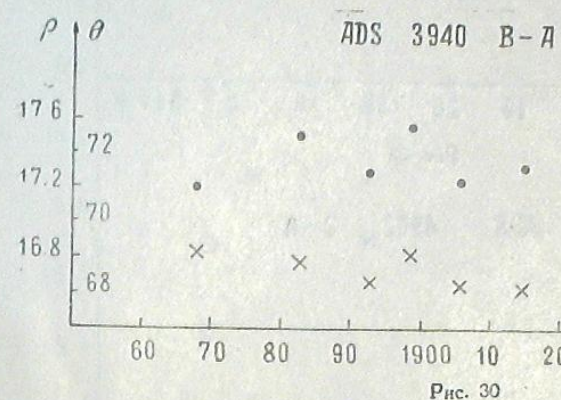
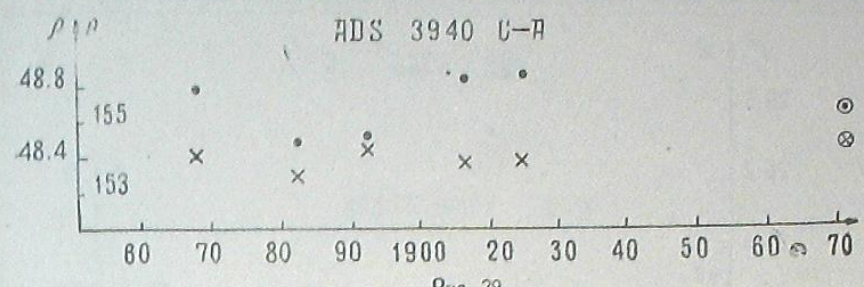
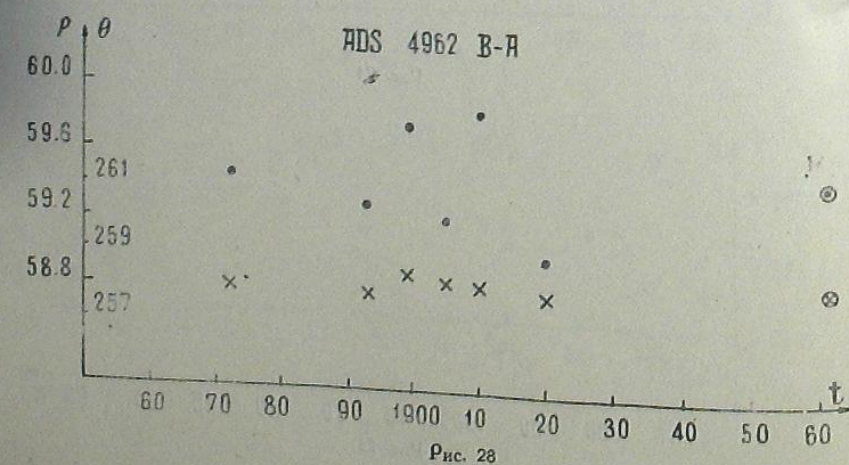
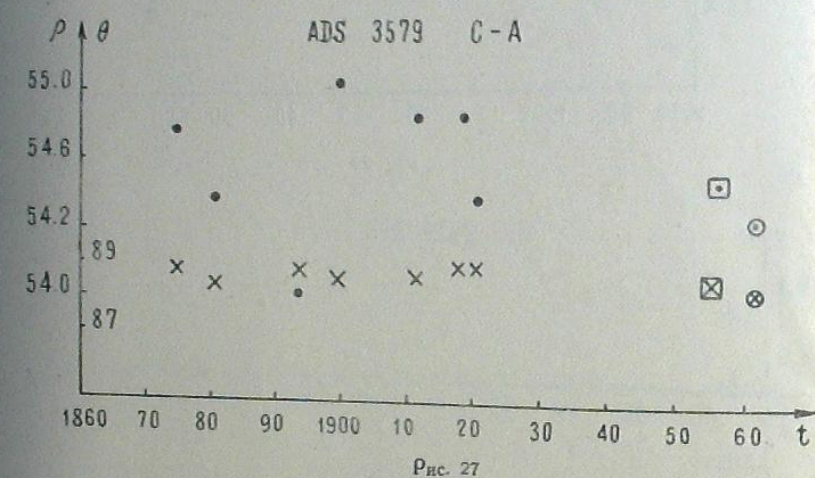
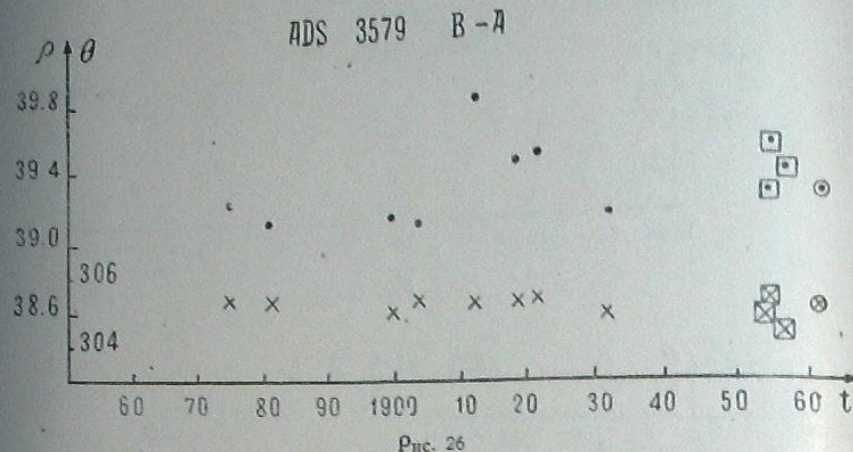


Рис. 25



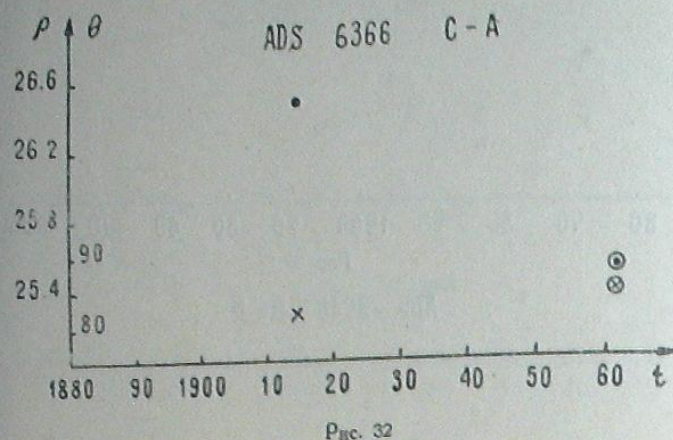


Рис. 32

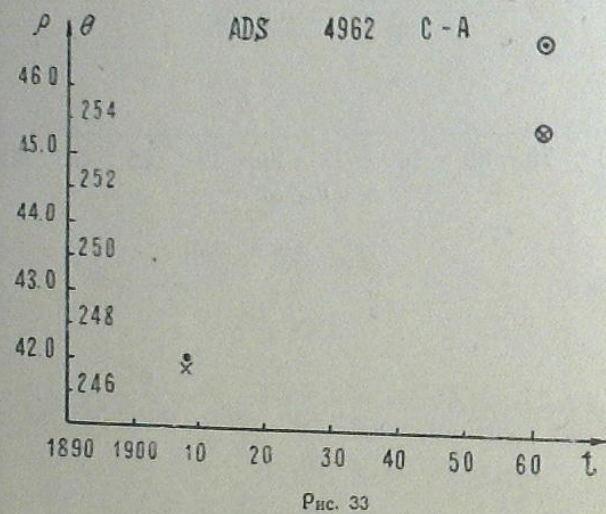


Рис. 33

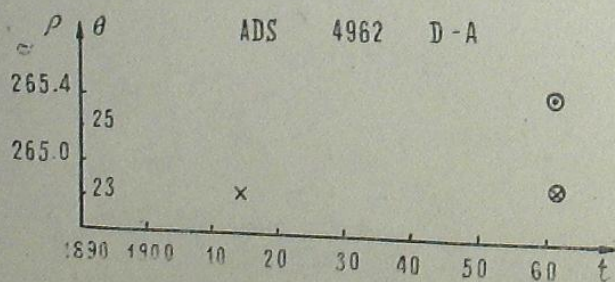


Рис. 34

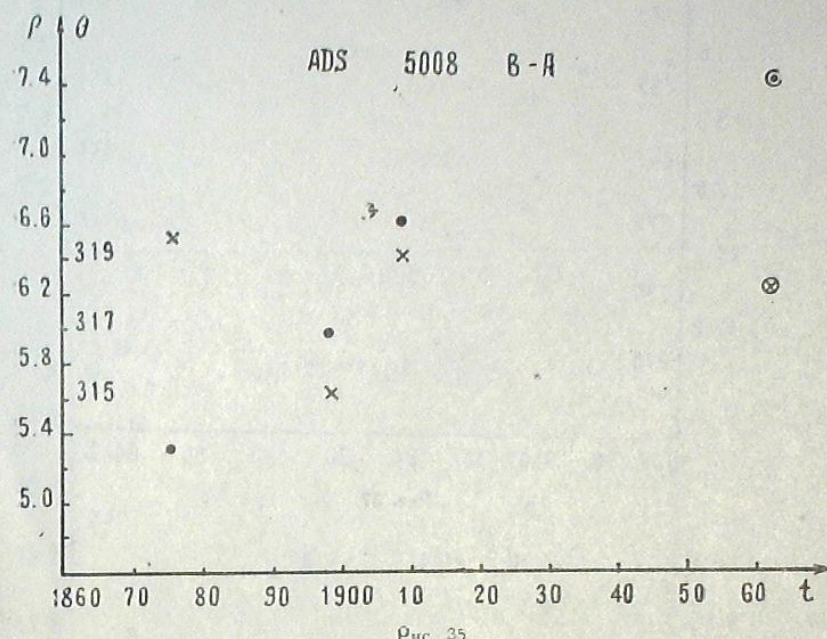


Рис. 35

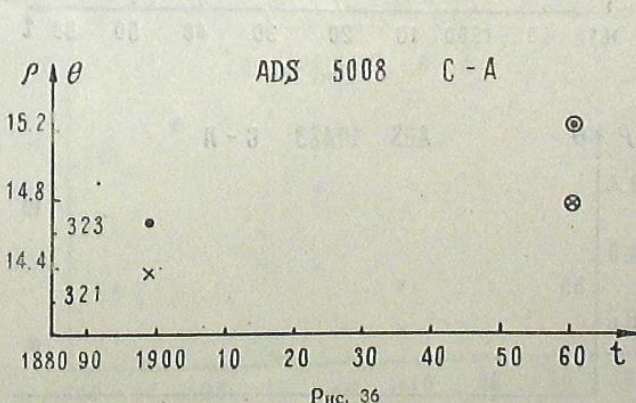


Рис. 36

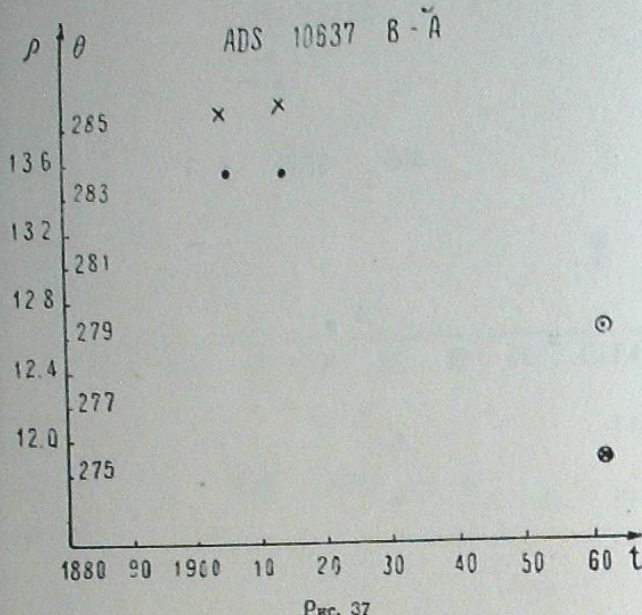


Рис. 37

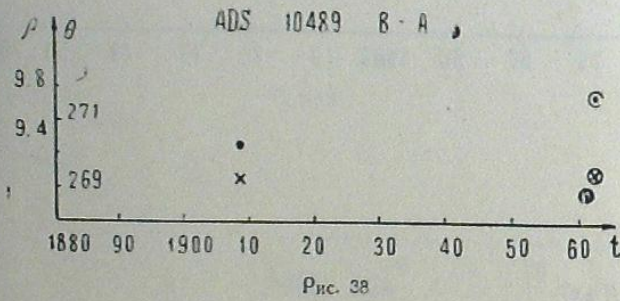


Рис. 38

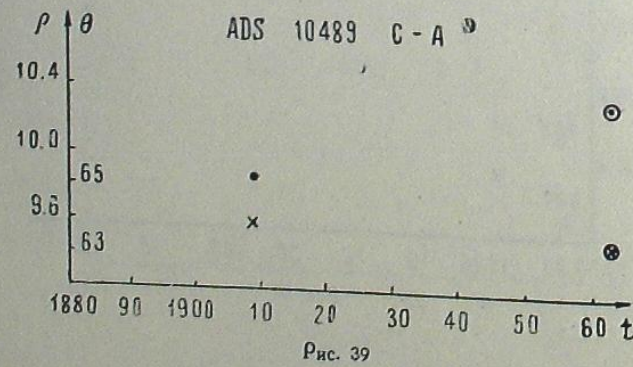


Рис. 39

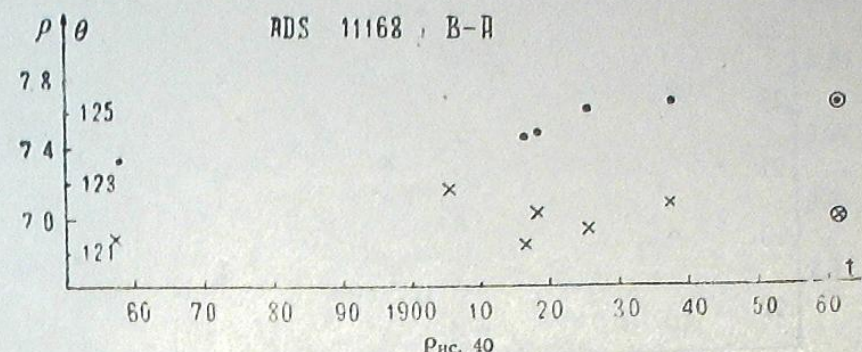


Рис. 40

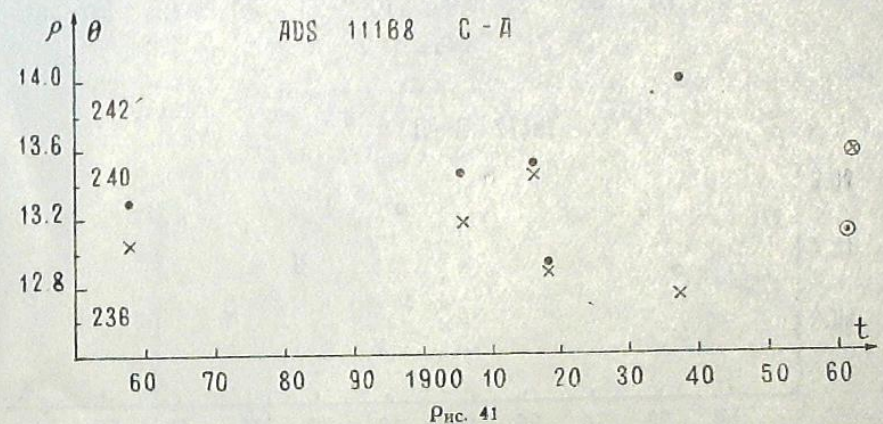


Рис. 41

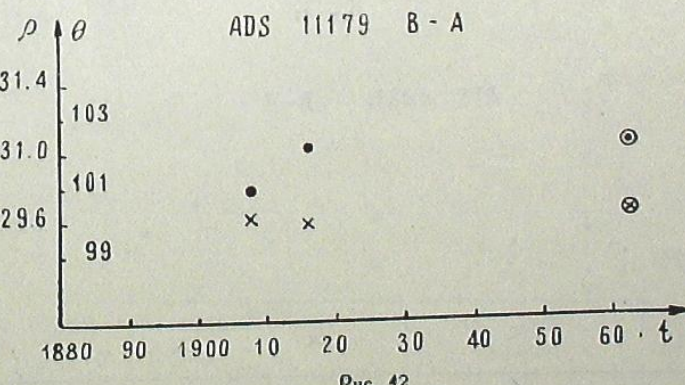


Рис. 42

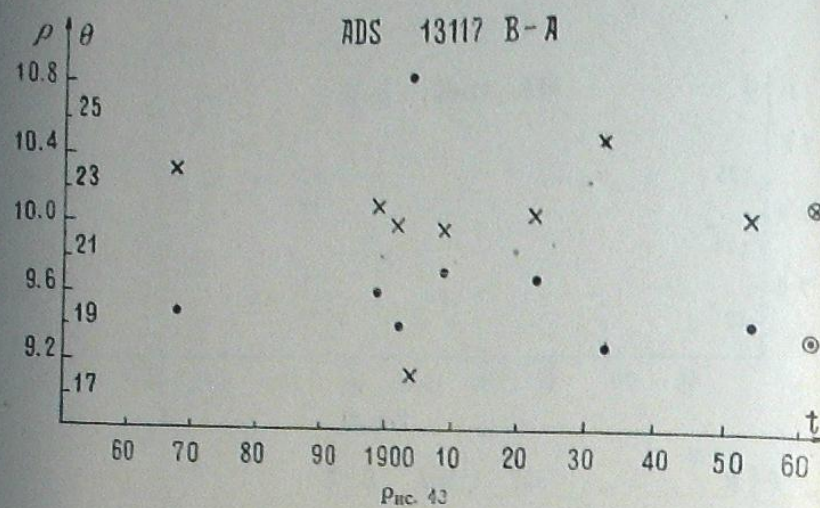


Рис. 43

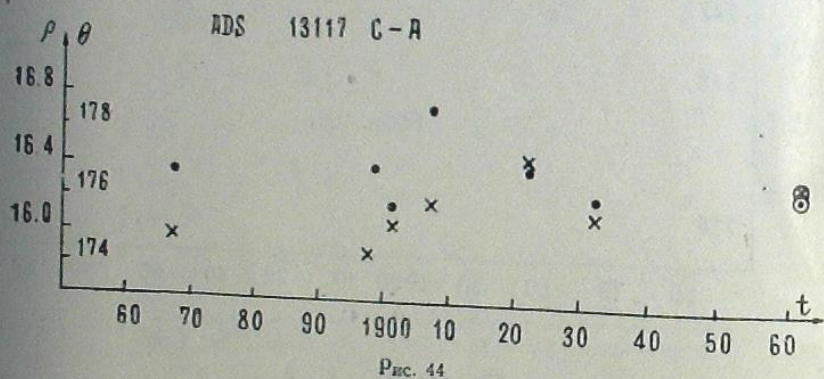


Рис. 44

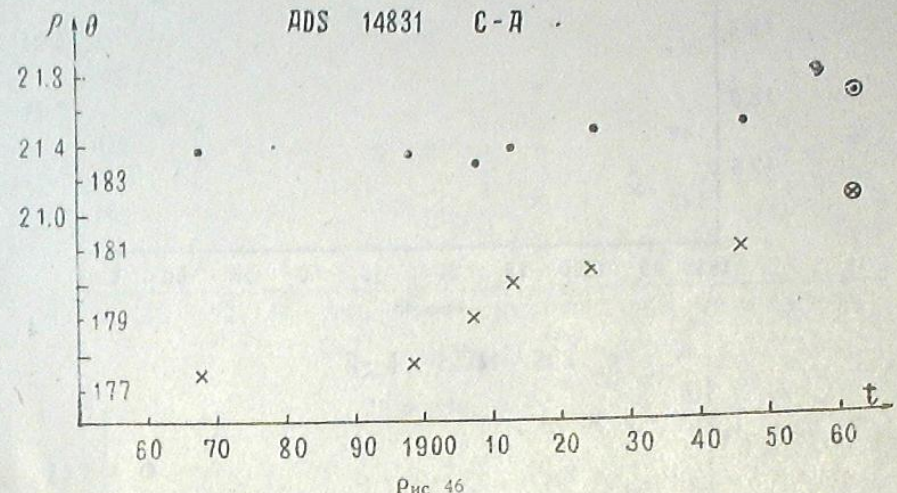


Рис. 46

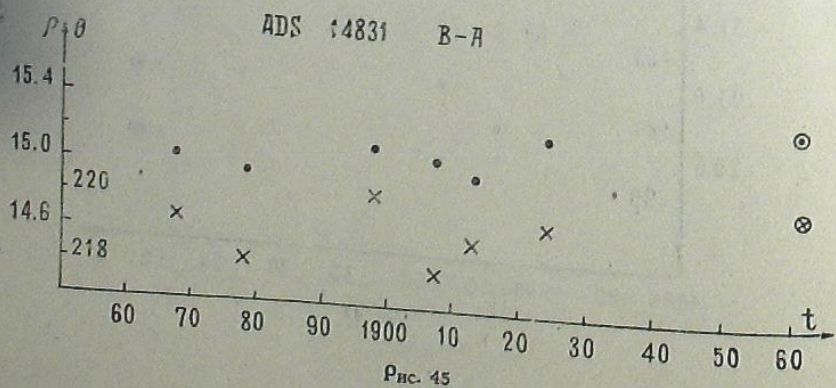


Рис. 45

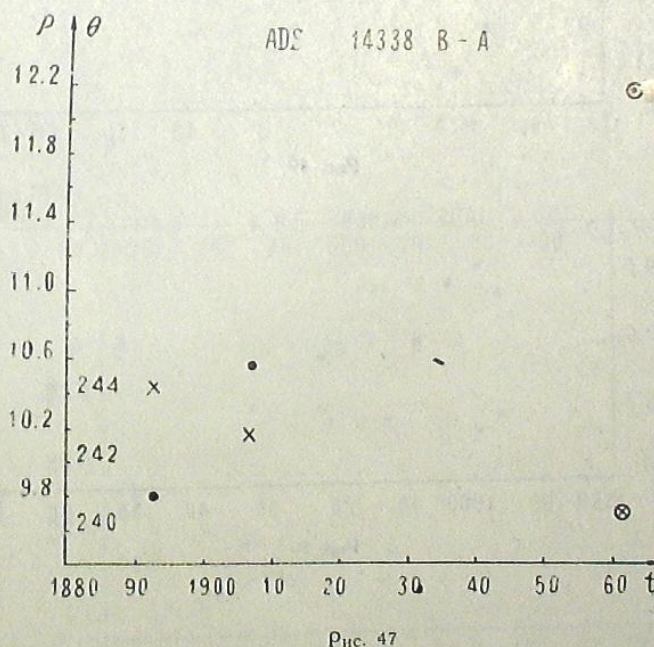
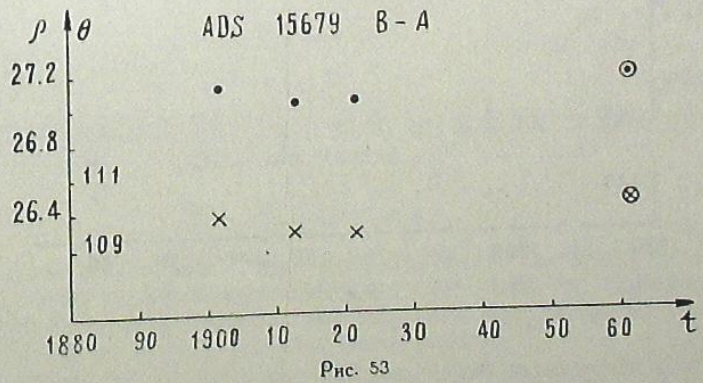
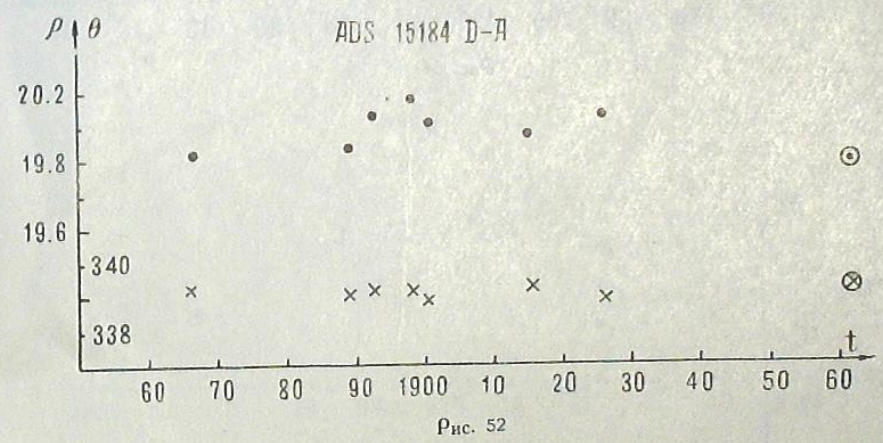
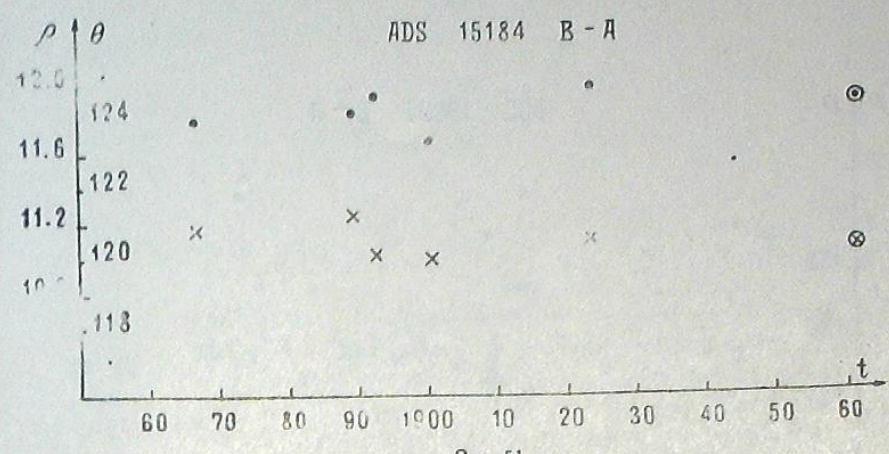
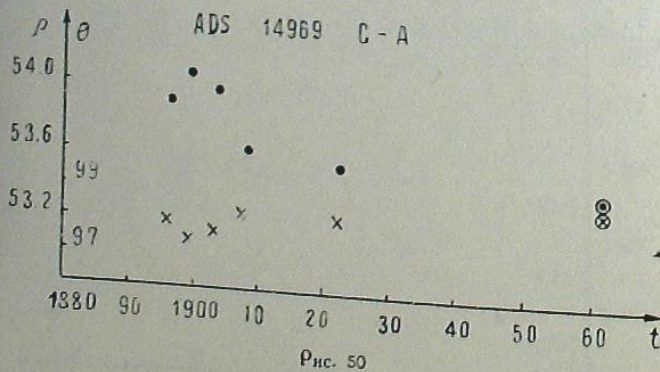
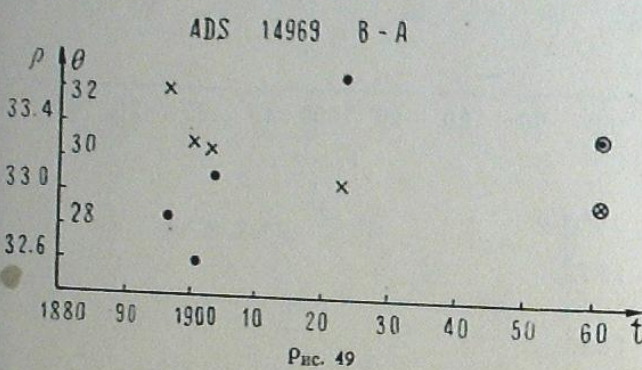
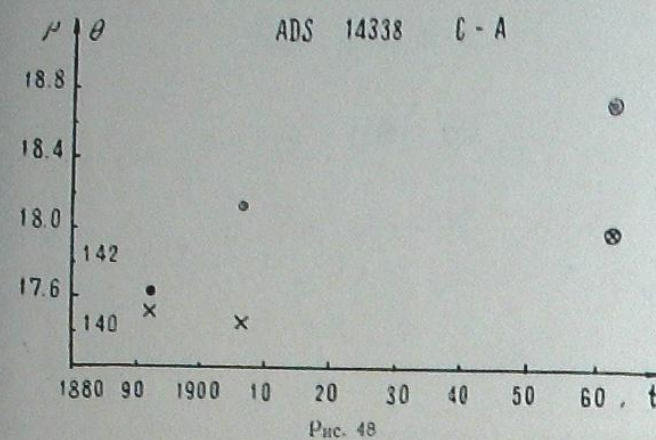
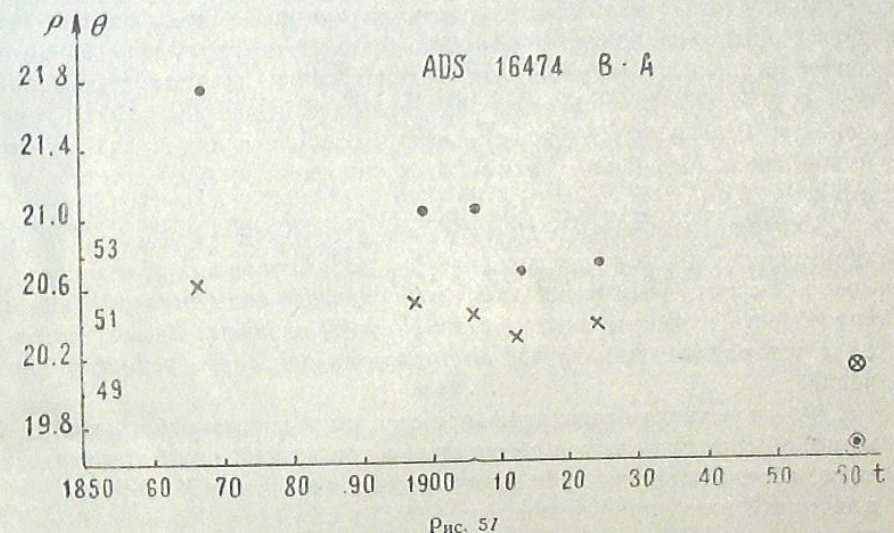
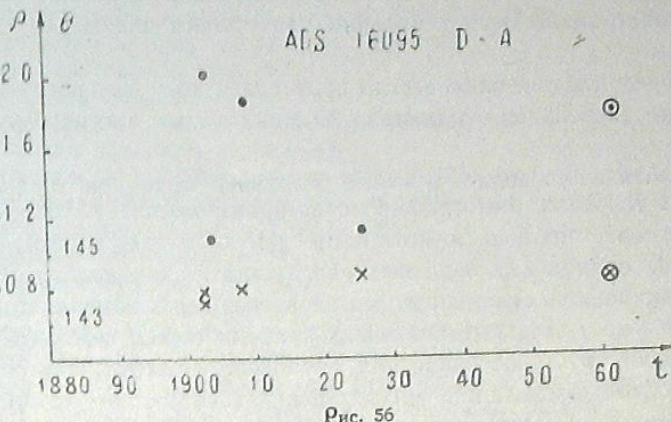
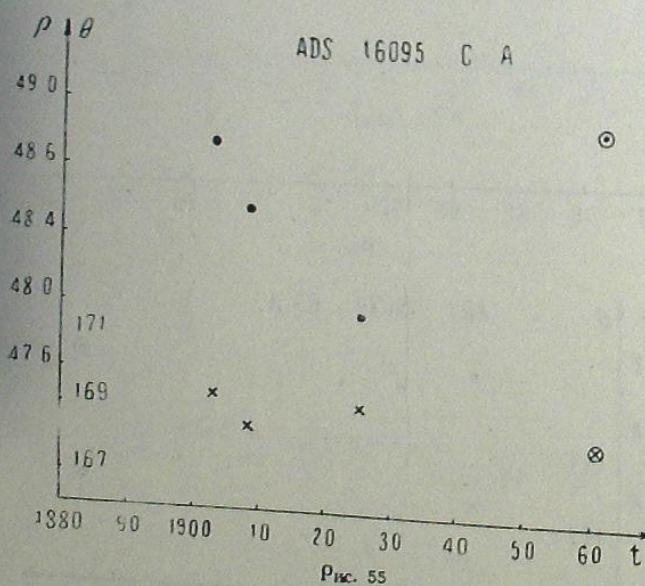
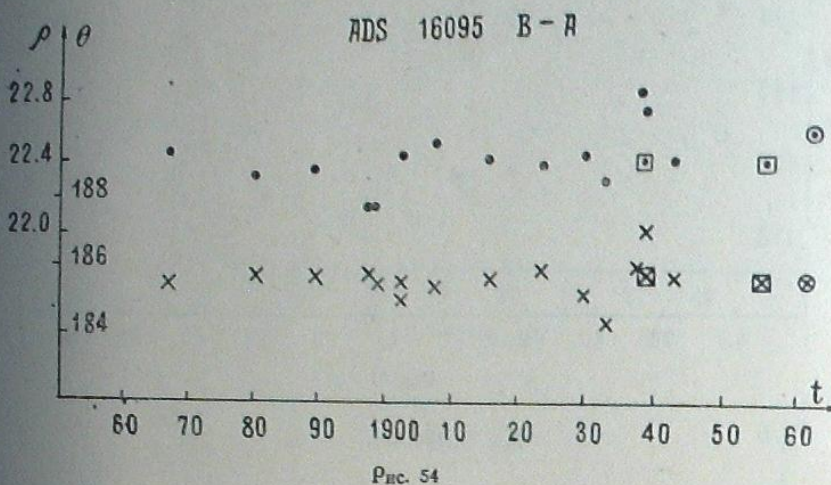


Рис. 47





Глава II

ОПРЕДЕЛЕНИЕ ЗВЕЗДНЫХ ВЕЛИЧИН И СПЕКТРАЛЬНАЯ КЛАССИФИКАЦИЯ

§ 1. Наблюдения

Наблюдения кратных систем типа Трапеции, связанные с данным исследованием, мы проводили в течение 1958—1962 г.г. Наблюдательный фотографический материал мы накопили для 24 кратных систем, перечисленных во введении к настоящей работе.

По картам *BD* заранее составлялись карты окрестностей кратных систем, что давало возможность находить необходимый объект в искательном телескопе, после установки последнего по соответствующим координатам. После этого, систему мы отождествляли в главном фокусе

телескопа, для чего вместо кассеты мы крепили пластинку с окуляром, что делало возможным в большинстве случаев видеть все компоненты системы.

Перед наблюдением всегда проверялся ход часового механизма. Средняя экспозиция составляла 30 минут, а во многих случаях — 45 минут.

Наблюдения велись в ясные безлунные ночи при хороших атмосферных условиях. Фотографирование производилось вблизи меридиана, причем мы старались снимать исследуемую систему и стандартную область на одинаковых зенитных расстояниях. Стандартная область фотографировалась сразу же вслед за исследуемой нами системой.

Данные о звездных величинах кратных систем, которые имеются в ADS очень грубы, особенно для компонент. Поэтому, для определения оптимальных экспозиций приходилось делать пробные снимки, в некоторых случаях, даже для отдельных компонент.

Ввиду того, что составляющие звезды кратной системы отличаются друг от друга по блеску, необходимо было вести фотографирование с двумя различными экспозициями. Таким образом, наблюдательный материал в большинстве случаев накапливался отдельно для каждой компоненты. Если в состав кратной системы входила яркая звезда, то мы прибегали к диафрагмированию объектива с помощью диафрагмы диаметром 20 см.

Сначала мы планировали получение наблюдательного материала в трех цветах. Но фотографирование в ультрафиолетовых лучах оказалось весьма трудным из-за малых проникающей силы и разрешающей способности телескопа в этих лучах. Поэтому наблюдательный материал в ультрафиолетовых лучах мы получили для очень немногих трапеций.

Фотопластинки проявлялись при строгом и полном соблюдении режима, обычно принятого в обсерватории при выполнении фотометрических работ. Пластинки Агфа проявлялись в проявителе К. В. Чибисова в течение 8 минут при температуре +18°C, а пластины Кодак — 6 мин. при той же температуре.

§ 2. Астрономический материал и фотометрические измерения негативов

Основной фотографический материал, полученный нами в результате четырехлетних наблюдений, длившихся с осени 1958 года, состоит из большого количества фотоснимков исследуемых кратных систем типа Трапеции и стандартных областей, выполненных главным образом, в фотографических и фотовизуальных лучах. Из этих негативов основное применение нашли (как сказано, многие пластины были получены лишь с целью определения оптимальных экспозиций) 291 пластина, которые по отдельным кратным системам распределены следующим образом.

- ADS 307. №№ 5887—92, 5912—16, 5923, 6305, 6208, 6399, 6402, 6745—46.
- ADS 423. №№ 6239—44, 6253—55, 6260—61, 6303, 6373, 6379.
- ADS 1209. №№ 6242, 6245—48, 6257, 6262, 6307—08.
- ADS 1823. №№ 5955—58, 6271, 6306.
- ADS 1877. №№ 6218—29.
- ADS 2135. №№ 5927, 5946, 5948, 5950—54, 6309, 6401, 6404.
- ADS 2984. №№ 6332, 6331—34, 6338—43.
- ADS 3579. №№ 5893—99, 5901, 6235—38, 6249—50, 6581, 6584.
- ADS 3940. №№ 6327—30, 6383, 6285, 6404—05, 6407—08.
- ADS 4962. №№ 6394—95, 6405—11, 6557—6564.
- ADS 5008. №№ 5959—62, 6000—6005.
- ADS 6366. №№ 6393, 6567—70, 6572.
- ADS 10489. №№ 6168—69, 6175—76, 6213—14, 6557—58, 6664—67.
- ADS 10637. №№ 6124—25, 6127—28, 6131, 6133, 6670, 6672.
- ADS 11168. №№ 6110—12, 6118—19, 6120—23.
- ADS 11179. №№ 6085—86, 6089—90, 6095, 6099, 6138, 6142, 6294—95, 6297—98.
- ADS 13117. №№ 6170—73, 6174, 6176, 6178—81, 6196, 6201, 6660—63.
- ADS 14338. №№ 6108—09, 6115—17, 6128, 6130.
- ADS 14831. №№ 5880—86, 6143—44, 6148, 6157—58.
- ADS 14969. №№ 5963—64, 5966—68, 5970, 6159, 6164, 6133.
- ADS 15184. №№ 6182, 6184, 6193, 6195, 6197—98, 6201—02.
- ADS 15679. №№ 5940—42, 5947, 5949, 5964, 6160—61, 6166, 6296—97, 6373, 6375.
- ADS 16095. №№ 6184—91, 6194—95, 6199, 6200—02, 6373.
- ADS 16474. №№ 5871—78, 5903—10, 5917—19, 5922, 6162—65.

Фотометрические измерения негативов выполнены с помощью фотоэлектрического микрофотометра МФ6 [51]. Средняя квадратическая ошибка измерения при определении фотовизуальных величин оказалась равной $\pm 0.^m01$, для ультрафиолетовых и фотографических звездных величин — $\pm 0.^m02$.

§ 3. Фотометрическая система и ее связь с системой U, B, V

В связи с настоящим исследованием мы поставили себе задачей разработать для себя фотометрическую систему, близкую к U, B, V .

Избрав для накопления наблюдений к нашему исследованию рефрактор, мы отдавали себе отчет в том, что величины U должны получаться у нас заметно отличными от джонсоновских, из-за известного ограниченного пропускания стеклянным объективом излучения звезды в ультрафиолетовой части. Подробное описание фотометрической системы, полученной с использованием 40-см рефрактора дано в работе [26].

Эффективные длины волн нашей фотометрической системы (U_A, B_A, V_A) соответственно равны: 3745, 4325, 5500 ангстрем. Для V_A и B_A они находятся в хорошем согласии с эффективными длиниами волн цвета V и B (Джонсона — Моргана). Однако система U у нас получается подобной Капской системе U_c и Крымской системе.

Для вывода редукционных формул перехода от нашей фотометрической системы к системе U, B, V мы воспользовались нашими же многочисленными фотографиями галактического скопления M34. Зависимость между нашими визуальными величинами U_A и величинами V (Джонсона-Моргана), которая получена в результате решения 28 условных уравнений по способу наименьших квадратов имеет вид:

$$V = V_A + 0.003 - 0.001m - 0.060(B_A - V_A) \quad (2)$$

$$\pm 0.011 \pm 0.001 \pm 0.013$$

Аналогично, решая 28 условных уравнений, получаем (3) — связь нашей системы B_A с системой B .

$$B = B_A + 0.096 - 0.010m + 0.064(B_A - V_A) \quad (3)$$

$$\pm 0.12 \pm 0.001 \quad \pm 0.015$$

Как видно из уравнений (2) и (3), наши фотовизуальные и фотографические величины очень близки к соответствующим величинам системы U, B, V . Вопрос редукции фотометрических систем подробно рассмотрен в работе А. С. Шарова [52]. В ней же указываются на те трудности которые возникают при редукции двух систем, различающихся в спектральном отношении, особенно в коротковолновой части спектра. В случае, когда две системы в разной мере захватывают область бальмеровского скачка, связь между этими системами является не прямолинейной, а многозначной.

Ввиду этого и поскольку эффективная длина волны нашей системы U_A значительно отличается от эффективной длины волны системы U_A , наши величины U_A к системе U не приводились и вошли в каталог без изменений.

§ 4. Вывод звездных величин

В качестве стандартных звезд для построения характеристических кривых, мы пользовались звездами нескольких рассеянных звездных скоплений: M34, M36, NGC752, NGC6633 и Плеяд [53, 54, 55].

Стандартные области фотографировались, проявлялись и измерялись в условиях, тождественных условиям пластиноч исследуемых кратных систем типа Трапеции. Чтобы уменьшить эффект ослабления света в земной атмосфере, мы стремились фотографировать стандартные области и исследуемые системы на одинаковых зенитных расстояниях и это в большинстве случаев возможно было ввиду обильности стандартных областей в системе U, B, V . Правда, в редких случаях, но все-таки бывали отклонения от этого правила и кроме того, несколько исследуемых систем имеют большие отрицательные склонения; поэтому в таких случаях обязательно было редуцировать наблюдаемые звездные величины к зенитному расстоянию стандартных областей.

Основная формула для учета света в атмосфере Земли имеет вид:

$$m_z - m_0 = -\alpha \frac{\log P}{0.4} [F(z) - 1],$$

где m_z и m_0 — звездные величины данной звезды на зенитном расстоянии z и в зените, соответственно; $F(z)$ — оптическая длина пути луча звезды в атмосфере, а $P(\lambda)$ — коэффициент прозрачности. Допустим теперь, m_{z_1} и m_{z_2} равны видимым звездным величинам на двух различных зенитных расстояниях z_1 и z_2 . Тогда получаем формулу:

$$m_{z_1} - m_{z_2} = \alpha [F(z_1) - F(z_2)],$$

$$\alpha = -\frac{\log P}{0.4}.$$

Эта формула служила нам для учета поправки за разность зенитных расстояний наблюдаемой системы и стандартной области.

Коэффициент прозрачности $P(\lambda)$, как известно, зависит от высоты места над уровнем моря и от метеорологических условий. Поскольку $P(\lambda)$ может меняться в течение одной ночи, для точной редукции необходимо определять его для каждой ночи наблюдения, но это связано с

практическими трудностями и потому при определении звездных величин методами фотографической фотометрии пользуются средним значением $P(\lambda)$.

Коэффициент прозрачности атмосферы в Абастумани для различных длин волн неоднократно и подробно определялся многими авторами [56, 57, 58]. При этом, в большинстве случаев полученные значения весьма близки к соответствующим известным значениям Аббота. Ввиду этого и принимая во внимание, что высота горы Канобили над уровнем моря близка к высоте горы Вильсон, мы сочли возможным пользоваться абботовскими коэффициентами, к соответствующим и используемым длинам волн. Аналогичный случай описан в работе [59]. Коэффициент прозрачности $P(\lambda)$ в нашем случае для длин волн 3745, 4325 и 5500 ангстрем равен соответственно 0.660, 0.780, 0.880. При этих значениях $P(\lambda)$, α принимает значения 0.451, 0.270 и 0.139. Поскольку в большинстве случаев зенитные расстояния обработанных снимков небольшие, то поправки за разность зенитных расстояний невелики, будучи порядка средней квадратической ошибки определения звездных величин.

Вывод средних звездных величин мы основывали на определениях по трем негативам, в некоторых случаях — по двум.

В таблице 9 представлены окончательные результаты определения звездных величин составляющих звезд для каждой кратной системы. Средняя квадратическая ошибка одного определения звездной величины в визуальных лучах оказалась равной $\pm 0''.04$, в фотографических и ультрафиолетовых лучах $\pm 0''.05$.

§ 8. Спектральная классификация

Спектральная классификация звезд, составляющих кратные системы, является трудной задачей, поскольку в большинстве случаев взаимное расположение звезд системы таково, что при фотографировании спектры накладываются друг на друга.

Ввиду этого из 24 выбранных кратных систем, мы смогли определить спектральные классы для некоторых составляющих 17-ти из них.

Наблюдательный материал накапливается на 70-см менисковом телескопе с помощью двух предобъективных 8° -ой и 4° -ой призм, применяемых попарно, в зависимости от блеска спектрографируемых звезд.

Данные призмы с большим углом преломления таковы: диаметр 72 см, дисперсия около линии H_γ 165 Å/мм. Преломляющий угол призмы равен $8^\circ 12'$. В сторону коротких волн спектры простираются до 3500 Å. На фотопластинках с повышенной чувствительностью получаются звезды до 12.5 звездной величины. (Подробное описание телескопа и призмы см. в работе Р. И. Киладзе [60]).

Данные призмы с малым углом преломления таковы: угол преломления $4^\circ 00'$, дисперсия около линии H_γ 666 Å/мм. На высокочувствительных фотопластинках получается около 14-ой звездной величины.

Для фотографирования некоторых кратных систем призму с малым углом преломления мы поворачивали на 90° . В таких случаях спектр расширяли по склонению с помощью клавиш телескопа.

Некоторые системы с очень слабыми и тесными компонентами были сфотографированы без расширения.

Таким образом мы постарались использовать все инструментальные возможности нашей обсерватории, чтобы определить спектральные

классы как-можно большего количества звезд, составляющих кратные системы.

Подробное описание наблюдательного материала дается в таблице 8.

Таблица 8

№ п/п.	№ ADS	№ пл.	дата снимка	Сорт пластиинки	Экспозиц. в мин.	Примечание
1	307	2599	7·1·1961	Ильфорд Зенит	2	4° призма, без расширения
		2600	"	"	8	" "
2	423	2572	2·1·1962	Ильфорд Зенит	10	4° призма, повернута на 90°
		2573	"	"	5	" "
3	1209	2587	6·1·1962	"	2	" "
		2588	"	"	10	" "
4	1877	2602	"	"	20	" "
		1896	22·X·1960	Агфа астро	20	8° призма "
5	2135	2574	2·1·1962	Ильфорд Зенит	2	4° призма, повернута на 90°
		2575	"	"	20	" "
6	2984	2589	6·1·1962	"	1	" "
		2590	"	"	10	" "
7	3579	1887	21·X·1960	Агфа астро	3	8° призма "
		1888	"	"	25	" "
8	3940	2577	2·1·1962	Ильфорд Зенит	2	4° призма, повернута на 90°
		2578	"	"	10	" "
9	4962	2594	6·1·1962	"	5	" "
		2595	"	"	25	" "
10	6366	2603	7·1·1962	Агфа астро	1	4° призма "
		2604	"	"	10	без расширения
11	11179	1867	17·X·1960	Кодак ОаО	15	8° призма
		1868	"	"	4,2	" "
12	14338	2579	2·1·1962	Ильфорд Зенит	10	4° призма, повернута на 90°
		2580	"	"	2	" "
13	14969	2582	2·1·1962	Ильфорд Зенит	5	4° призма "
		2583	"	"	8	" "
14	15184	2584	"	"	6	" "
		2752	7·3·1962	Агфа астро	20	4° призма "
15	15679	2753	"	"	1,2	4° призма "
		2754	"	"	4,4	" "
16	16095	2764	8·III·1962	"	15	" "
		2580	2·1·1962	Ильфорд Зенит	10	4° призма, повернута на 90°
17	16474	2585	"	"	30	" "
		2597	6·1·1962	"	3	" "
18	11179	2598	"	"	5	" "
		1684	12·VIII·1960	Агфа астро	3	8° призма "
19	14338	1712	19·VIII·1960	Кодак ОаО	5	8° призма "
		1685	12·VIII·1960	Агфа астро	10	8° призма "
20	14969	1709	18·VIII·1960	Кодак ОаО	5	8° призма "
		1713	19·VIII·1960	"	6	" "
21	15184	1686	13·VIII·1960	"	10	" "
		1714	19·VIII·1960	Кодак ОаО	27	8° призма "
22	15679	1883	21·X·1960	Агфа астро	2	8° призма "
		1884	"	"	15	8° призма "
23	16095	1687	12·VIII·1960	"	1,2	8° призма "
		1710	18·VIII·1960	Кодак ОаО	10	8° призма "
24	16474	1886	21·X·1960	Агфа астро	2	8° призма "
		2570	2·1·1960	Ильфорд Зенит	30	8° призма "
25	16474	2571	"	"	10	8° призма, повернута на 90°
		2586	6·1·1960	"	3	4° призма, повернута на 90°
26	16474	1716	19·VIII·1960	Агфа астро	5	8° призма "
		1717	"	"	2	8° призма "
27	16474	"	"	"	30	" "

Для определения спектральных классов и светимостей мы пользовались критериями спектральной классификации [61], разработанными по спектрам, полученным 8° и 4° призмами и внедренными в практику обсерватории.

Определение спектральных классов 8° призмой производилось с точностью одного подкласса, а 4° — с точностью в два подкласса.

Результаты спектральной классификации даны в таблице 9 (Глава III).

Глава III

КАТАЛОГ ОТНОСИТЕЛЬНЫХ ПОЛОЖЕНИЙ, ЗВЕЗДНЫХ ВЕЛИЧИН И СПЕКТРАЛЬНЫХ КЛАССОВ ЗВЕЗД КРАТНЫХ СИСТЕМ ТИПА ТРАПЕЦИИ

В настоящей главе сведены все данные наших наблюдений и измерений для 24 кратных систем типа Трапеции (таблица 9).

В таблице, наряду с порядковыми номерами и номерами систем по общему каталогу Эйткена, со средней эпохой наших наблюдений, и наименованиями компонент, даны расстояния и позиционные углы, вычисленные относительно главной звезды А. Средние квадратические ошибки указаны под значениями расстояний углов. Далее наряду с обозначениями компонент в каждой системе, даны визуальные *V*, фотографические *B* и ультрафиолетовые *U_A* — звездные величины, причем величины *V* и *B* приведены к соответствующим величинам системы *U*, *B*, *V*. Величины *U_A* к системе *U* (Джонсона-Моргана) не приводились и вошли в каталог без изменений. В последнем столбце представлены спектральные классы.

Таблица 9

№ п/п	№ ADS и эпоха наблюдения	Компоненты	ρ и Еρ	Θ и Е	Компоненты	V	B	U _A	S _p
1	307 1961·01	В—А	9 ^h 58'57"	82°47'	А	8 ^m 33	8 ^m 31		B2
		С—А	±0·040	±0·18	В	11·19	11·25		B5
		Д—А	23·502	55·85	С	12·88	13·10		—
		Д—А	±0·039	±0·14	Д	12·07	12·81		F5
2	423 1961·11	В—А	5·822	353°01'	А	10·96	10·94		B8
		С—А	±0·048	±0·11	В	11·66	11·68		Bo III
		Д—А	44·718	81·25	С	9·74	9·91		A5
		Д—А	±0·046	±0·10	Д	9·97	9·99		
3	1209 1961·41	В—А	13·877	145°52'	Е	10·28	10·49		
		С—А	±0·032	±0·10	Е	11·14	11·63		
		Е—А	112·373	170·88	Е	11·14	11·14		
		Ф—А	152·101	114·84	Ф	10·28	10·49		
4	1823 1960·56	В—А	16·697	169°02'	А	11·12	11·59		
		С—А	±0·050	±0·19	В	12·64	12·72		
		С—А	15·425	24·23	С	11·01	11·39		
		С—А	±0·058	±0·23	С	11·39	11·39		

Продолжение таблицы 9

№ п/п	№ ADS и эпоха наб- людения	Компоне- нты	ρ и Еρ	θ и Еθ	Компоне- нты	V	B	Uλ	Sp
5	1877 1961-38	B-A	14° 780	103° 94	A	8° 60	8° 56	8° 31	B2V
			±0 035	±0 03	B	11° 14	11° 26	11° 19	B9
		A'-A	39° 013	262° 94	A'	10° 22	10° 18	10° 07	B2V
6	2135 1961-12		±0 027	±0 03	B'	11° 02	11° 21	11° 22	B8
		B'-A	53° 180	252° 30					
			±0 024	±0 01					
7	2984 1961-15	B-A	11° 332	285° 55	A	8° 02	7° 94		B6
			±0 042	±0 08	B	12° 32	12° 26		
		C-A	24° 356	21° 37	C	10° 49	11° 53		
8	3579 1961-33		±0 037	±0 10	A	12° 90	13° 41		
		A'-A	33° 423	66° 60					
			±0 032	±0 05					
9	3940 1961-15	B-A	17° 869	303° 83	A	7° 05	7° 14	6° 08	
			±0 025	±0 10	B	7° 08	7° 18	6° 10	B8
		C-A	138° 602	77° 12	A	11° 04	—	—	
10	4962 1962-94		±0 044	±0 02	E	11° 43	—	—	
		A'-A	11° 018	4° 50					
			±0 048	±0 13					
11	5008 1961-30	E-A	36° 540	319° 01					
			±0 035	±0 12					
			±0 015	±0 02					
12	6366 1961-78	B-A	17° 365	305° 13	A	5° 93	5° 86	6° 03	B8
			±0 031	±0 05	B	7° 42	7° 33	7° 23	E6
		C-A	54° 233	88° 88	C	9° 62	9° 89	9° 90	A9
13	10489 1962-49		±0 032	±0 02					
		A'-A	258° 27	17° 30					
			±0 040	±0 01	B	9° 02	9° 14	B9	
14	10637 1961-98	C-A	46° 642	253° 81	C	12° 20	12° 08		
			±0 031	±0 03	D	7° 58	7° 57	B8	
		A'-A	265° 443	23° 60	E	11° 82	12° 98		
15	11168 1961-96	E-A	84° 217	255° 10					
			±0 033	±0 03					
			±0 015	±0 02					
16	11179 1962-50	B-A	7° 488	318° 88	A	9° 88	10° 63		
			±0 042	±0 14	B	11° 44	11° 64		
		C-A	15° 206	323° 94	C	12° 55	12° 66		
17	11179 1961-72		±0 035	±0 08					
		A'-A	17° 180	9° 70	A	8° 27	8° 39	B9	
			±0 023	±0 09	B	9° 26	9° 35	B9	
18	10489 1962-49	C-A	25° 493	88° 88	C	12° 64	12° 72		
			±0 034	±0 18					
		A'-A	9° 727	269° 37	A	9° 95	11° 04		
19	10637 1961-98	C-A	10° 366	63° 53	B	10° 57	11° 11		
			±0 046	±0 13	C	11° 78	12° 60		
		A'-A	12° 588	275° 20	A	10° 48	10° 97		
20	11168 1961-96	C-A	14° 817	250° 78	B	12° 03	12° 48		
			±0 032	±0 10	C	12° 42	12° 90		
		A'-A	7° 654	121° 87	A	8° 24	8° 88	8° 46	
21	11179 1962-50	C-A	13° 589	238° 48	B	9° 14	9° 33	9° 00	
			±0 023	±0 08	C	9° 91	9° 99	9° 75	
		A'-A	31° 216	100° 02	A	10° 15	10° 62	10° 53	F5
			±0 023	±0 08	B	10° 40	10° 88	10° 80	F5

Продолжение таблицы 9

№ № ПП	№ ADS и эпоха наб- людения	Компонен- тты	ρ и Еρ	θ и Еθ	Компонен- тты	V	B	Uλ	Sp
17	13117 1961-8	B-A	40° 261	122° 72	C	12° 30	13° 15	—	—
			±0 026	±0 09					
18	14338 1961-26	B-A	9° 349	22° 36	A	6° 46	6° 38		
			±0 023	±0 13	B	9° 56	9° 50		
19	14341 1961-68	C-A	16° 273	176° 56	C	11° 70	—		
			±0 010	±0 19					
20	14969 1961-33	B-A	12° 216	210° 58	A	10° 50	13° 52		
			±0 051	±0 00	B	11° 09	11° 53		
21	15184 1961-14	C-A	18° 699	142° 72	C	11° 96	12° 94		
			±0 032	±0 25					
22	15679 1961-52	B-A	15° 296	220° 16	A	5° 36	4° 22		
			±0 023	±0 22	B	10° 43	—		
23	16095 1961-74	C-A	43° 523	183° 53	A	5° 88	5° 73	4° 55	B2I
			±0 030	±0 07	B	6° 60	6° 41	5° 39	B2I
24	16474 1961-72	C-A	48° 894	168° 37	C	10° 50	10° 40	10° 22	—
			±0 018	±0 00	D	9° 04	8° 95	8° 77	B5
		A'-A	81° 824	144° 24					
			±0 030	±0 01					
		A'-A	19° 457	49° 69	A	6° 43	6° 36		B6
			±0 011	±0 10	B	10° 11	10° 13		B8
		C-A	56° 057	80° 22	C	10° 31	11° 10		F2
			±0 014	±0 03					

Март, 1963.

ტრავენის ტების ჯირად სისტემათა ვარსკვლავის ფარდობითი მდებარეობაზე, ვარსკვლავის სისტემაზე და სამართლებრივი მახსინათვების კატალოგის შესადგენად.

გ. საღამოები

(რეზუმე)

აბასთუმნის ასტროფიზიკურ მუზეუმის 1958 წლიდან სისტემატურად წარმოებს ტრავენის ტების ჯირად სისტემების ფოტოგრაფიული და კვაზი ვებები მა სისტემების შემადგენელი ვარსკვლავებისათვის ფოტომეტრიული, სპექტრული და ასტრომეტრიული მახსინათვების კატალოგის შესადგენად.

წინამდებარე ნაშრომში მოცემულია ტრავენის ტების შემდეგი ჯირადი სისტემების: ADS 307, 423, 1209, 1823, 1877, 2135, 2984, 3579, 3940, 4962, 5008, 6366, 10489, 10637, 11168, 11179, 13117, 14338, 14831, 14969, 15184, 15679, 16095, 16474, შემადგენელი ვარსკვლავების ფარდობითი მდებარეობანი. ვარსკვლავიერი სიდიდეები და სპექტრული კლასები.

ვარსკვლავები სიღიდეებისა და ფართობით მდებარეობების განსაზღვრის მიზნით დაკირცხულები წარმოებდა 40 სმ- ჩემოგრაფიულის მთავარ ფოკუსში (საფოკუსო მანძილი = 680 სმ), ვეტორის მიერ ამ მიზნებისათვის საგანგებოდ დამზადებული ფოტოგრაფიული კამერით.

მეტალი სისტემების ფოტოგრაფიულებისას ფირფიტაზე მიღებოდა ერთი გამოსახულება, შედარებით კაშაბაშვი გერადი სისტემის შემთხვევაში კი 2-დან 9 გამოსახულებამდე.

გერადი სისტემების ვართუობოვანი კოორდინატების გაზომვა შესრულდებოდა კოორდინატების საზომ პრეციზულ ხელსაწყოზე КИМ-3. აღნიშნული ხელსაწყო გამოკვლეულია ვეტორის მიერ ა. ხატისოვთან ერთად.

მასშტაბი განისაზრის სხვადასხვა ტემპერატურაზე, გალაქტიკური გროვის M 34 ის ვარსკვლავებს შეირჩეოდა მნიშვნელების გაზომვის შედეგად. ტემპერატურის 20°-ით შეცვლისას ივე იცვლება დაახლოებით 0''.007-ით. საშუალო მასშტაბი კი ტოლია 30''.593-სა.

ვაზომილ კოორდინატებში შეიტანებოდა შესწორებები პირველი რიცის ჩეფრაქვიზე, რომელთა გამოსახულებად შეღენილია ცხრილი და გრაფიკები.

სულ 24 გერადი სისტემისათვის მიღებულია 102 ფოტოგრაფიული ფოტოფირა: თითოეული გერადი სისტემისათვის — საშუალო 4—5 ფოტოგრაფიული ფირფიტი.

ფოტომეტრულ სისტემად შერჩეული იქნა სამფეროვანი ფოტომეტრიული სისტემა, რომელიც აღლოსა გონის გონისა და მორგანის სამფეროვან ფოტომეტრულ სისტემასთან.

ფოტორის ივე მიღებული ფოტომეტრიული სისტემის (U_A, B_A, V_A) ეფექტური ტალღი სიგრძეები შესაბამისად ტოლია 3745, 4325 და 5500 Å-ნაცვლებისა. V_A და B_A ფერების ეფექტური ტალღის სიგრძეები კარგ თანხვდენაშია გონის გონისა და მორგანის V და B ფერების ეფექტური ტალღის სიგრძეებთან.

გამოყვანილია სარედუქციო, ფორმულები, რომლებიც ამყარებს V_A და B_A სიღედების კაშტრის გონის გონისა და მორგანის შესაბამის სიღიდეებთან.

ვარსკვლავები სიღიდის ერთი განსაზღვრის საშუალო კვადრატული ცდომილება ვაზუალურ სივებში ტოლია $\pm 0''.04$ ფოტოგრაფიულ და ულტრასივერ სივებში კი $\pm 0''.05$.

70-სმ მენისკურ ტელესკოპზე მორგებული 8°-იანი და 4°-იანი წინასაობიექტივი პრიზმების გამოყენებით განსაზღვრულია ტრაპეზის ტიპის გერადი სისტემების ვარსკვლავების სპექტრული კლასები.

8°-იანი პრიზმით სპექტრული კლასების განსაზღვრა მოხდენილია ერთო ქვეკლასის სიზუსტით, 4°-იანი პრიზმით კი ორი ქვეკლასის სიზუსტით.

ცხრილში 9 მოცემულია 24 ტრაპეზის ტიპის გერადი სისტემების ვარსკვტრელი კლასები. მანძილები და პოზიციური კუთხეები მოცემულია დაგვირვევარსკვლავის მიმართ. მოცემულია მანძილებისა და პოზიციური კუთხეების განსაზღვრის საშუალო კვადრატული ცდომილებები. მოცემულია აგრეთვე გერა-

ლი სისტემების თითოეული კომპონენტისათვის ვიზუალური, ფოტოგრაფიული და ულტრაიისფერი ვარსკვლავები სიღიდეები. მასთანავე ვიზუალური და ფოტოგრაფიული ვარსკვლავები სიღიდეები მიყვანილია გონის გონისა და მორგანის შესაბამის სიღიდეებთან. ცხრილის უკანასკნელ სეტში მოცემულია სპექტრული კლასები.

RELATIVE POSITIONS, MAGNITUDES AND SPECTRAL CLASSES OF TRAPEZIUM TYPE MULTIPLE SYSTEMS

G. N. SALUKVADZE

(Summary)

The photographic observations of Trapezium type multiple systems are systematically carried out in the Abastumani Astrophysical Observatory since 1958 in order to prepare the catalogue of photometric, spectral and astrometric characteristics for the components of these systems.

In the present paper relative positions, magnitudes and spectral classes are given for the components of the following Trapezium type multiple systems: ADS 307, 423, 1209, 1823, 1877, 2135, 2984, 3579, 3940, 4962, 5008, 6366, 10489, 10637, 11168, 11179, 13117, 14338, 14831, 14969, 15184, 15679, 16095, 16474.

In order to determine magnitudes and relative positions the observations were carried out at the primary focus ($F=680$ cm) of 40 cm refractor.

When photographing faint systems one image, but in the case of comparatively bright multiple systems from 2 to 9 images on the plate were received.

The rectangular coordinates of the multiple systems were measured on a measuring machine КИМ-3.

The scale was determined at different temperatures by measuring stellar distances in M 34. When the temperature was changed by 20°, the scale changed by 30''.593.

Corrections for the first order refraction have been applied. On the whole 102 photographic plates are obtained for 24 multiple systems, at an average 4—5 photographic plates for each multiple system.

Three color photometry standing near Johnson's and Morgan's U, B, V system was chosen as a photometry system.

The effective lengths for the photographic system (U_A, B_A, V_A) obtained by the author are accordingly 3745, 4325 and 5500 Å.

A mean square error for one determination of magnitude in visual rays is $\pm 0''.04$, in photographic and ultraviolet ones it equals $\pm 0''.05$.

The spectral class of stars of Trapezium multiples is determined by means of 8° and 4° objective prism spectra (70 cm meniscus type telescope).

Relative positions of stars for 24 Trapezium type multiple systems, magnitudes and spectral classes are given in table 9.

The distances and position angles are given for a mean epoch of the

observation. The position angles are computed with respect to main A star. Mean square errors of determination of distances and position angles are given. Visual, photographic and ultraviolet magnitudes for each component of the multiple systems are also given.

Besides visual and photographic magnitudes are reduced to corresponding ones of Johnson and Morgan.

ЦИТИРОВАННАЯ ЛИТЕРАТУРА

1. Blaauw A. The evolution of expanding stellar associations: The age and origin of the Scorpio-Centaurus group. *BAN*, 1952, **11**, 433, 414—440.
2. Маркарян Б. Е. Звездная ассоциация Цефей II. *Сообщ. Бюрак. астрофиз. обс.* 1959, **11**, 3—18.
3. Blaauw A., Morgan W. W. Expanding motions in the Lacerta aggregate. *Aph. J.* 1953, **117**, 256—263.
4. Копылов И. М. О-ассоциация в Скорпионе и ее неустойчивость. *Докл. АН СССР* 1953, **90**, 6, 975—978.
5. Копылов И. М. К вопросу об ассоциации в Скорпионе. *Изв. Крым. астрофиз. обс.* 1954, **11**, 81—90.
6. Артюхина Н. М. Собственные движения звезд ассоциации Цефей II. *Астрон. Журн.* 1954, **31**, 264—266.
7. Delhage I., Blaauw A. New proper motions in the Persei association. *BAN*, 1953, **12**, 448, 72—75.
8. Мирзоян Л. В. О расширении ассоциации. *Сообщ. Бюрак. астрофиз. обс.* 29, 81—105.
9. Торонджадзе А. Ф. Особенности движения звезд спектральных классов O и B в расширение звездных ассоциаций. *Докл. АН СССР*, 1950, **74**, 3, 441—443.
10. Амбарцумян В. А. Эволюция звезд и астрофизика. Ереван, АН Арм. ССР, 1947.
11. Амбарцумян В. А. Звездные ассоциации. *Астрон. Журн.* 1949, **26**, 3—9.
12. Амбарцумян В. А., Маркарян Б. Е. Звездная ассоциация вокруг Р Лебедя. *Сообщ. Бюрак. астрофиз. обс.* 1949, **2**, 3—17.
13. Амбарцумян В. А. Кратные системы типа Трапеции. *Сообщ. Бюрак. астрофиз. обс.* 1954, **13**, 1—35.
14. Амбарцумян В. А. О вероятности кажущихся кратных систем типа Трапеции Ориона. *ДАН Арм. ССР* 1951, **13**, 4, 97—103.
15. Амбарцумян В. А. К статистике кратных систем типа Трапеции. *ДАН Арм. ССР*, **13**, 5, 129—132.
16. Aitken R. G. New General Catalogue of double stars. Carnegie Institution of Washington, 1932.
17. Sharpless S. Multiple star systems in emission nebulae. *Aph. J.* 1954, **119**, 2, 334—343.
18. Паренаго П. П. Исследование звезд в области туманности Ориона. Труды второго совещания по вопросам космогонии, 1953, 334—351.
19. Паренаго П. П. О звездах туманности Ориона. *Астрон. Журн.* 1953, **30**, 3, 249—264.
20. Паренаго П. П. Исследование звезд в области туманности Ориона. Труды ГАИШ 1954, **25**, 1—547.

21. Ахундова Г. В. Исследование собственных движений звезд в области ассоциации Ориона. *Изв. Пулков. обс.* 1957, **21**, 160, 83—115.
22. Маркарян Б. Е. О классификации открытых звездных скоплений. *Сообщ. Бюрак. астрофиз. обс.* 1950, **5**, 3—34.
23. Маркарян Б. Е. О классификации открытых (галактических) звездных скоплений II. *Сообщ. Бюрак. астрофиз. обс.* 1951, **9**, 3—40.
24. Амбарцумян В. А. Вопросы астрометрического изучения звездных ассоциаций. *Труды 10-ой Всесоюзной астрометрической конференции*, 1954, Ленинград, 66—68.
25. Амбарцумян В. А. О происхождении и развитии звезд и звездных систем. *Труды второго совещания по вопросам космогонии*, 1953, 1—78.
26. Салуквадзе Г. Н. Опыт построения трехцветной фотометрической системы с помощью 40-см рефрактора Абастуманской астрофизической обсерватории. *Бюлл. Абастум. астрофиз. обс.* 1961, **26**, 105—127.
27. Sternberg P. Observations photographiques d'étoiles doubles. *AN*, **170**, 1907, 4065, 133.
28. Штернберг П. Некоторые применения фотографии к точным измерениям. 1914. Москва.
29. Hertzsprung E. Photographische Messungen von Doppelsternen. *Public. Astroph. Observ. zu Potsdam*, 1920, 75.
30. Holmberg E. A determination of the mass ratios and parallaxes of Castor and 70 Ophiuchi. *A. J.* 1942, **50**, 1145, 100—105.
31. Strand K. Aa. The Triple System μ Draconis. The Triple System ξ Bootis. *PASP*, 1943, **55**, 26—29.
32. Strand K. Aa. The astrometric study of unseen companions in double stars. *Aj.* 1944, **51**, 1149, 12—13.
33. Дейч А. Н. Орбита и масса темного спутника двойной звезды 61-ой Лебедя. *Изв. Пулков. обс.* 1948, **18**, 146, 1—28.
34. Дейч А. Н. О темном спутнике 61 Лебедя. *Изв. Пулков. обс.* 1957, **21**, 160, 62—82.
35. Дейч А. Н. Исследования движения темного спутника 61 Лебедя III. *Изв. Пулков. обс.* 1960, **22**, 166, 138—149.
36. Странд К. А. Фотографические измерения двойных звезд (перевод А. Н. Дейча). *Астрон. Журн.* 1960, **37**, 6, 1107—1113.
37. Шукстова З. Н. Фотографические наблюдения двойных звезд на Московской обсерватории. *Труды ГАИШ* 1961, **30**, 3—74.
38. Voute J. Sur l'utilisation du prisme à réversion pour la mesure de l'angle de position des étoiles doubles. *J.O.* 1954, **37**, 9, 113—118.
39. Strand K. Aa. Photographic observations of double stars made with the 24-inch Sproul refractor. *AJ*. 1946, **52**, 1157, 1—21.
40. Курс астрофизики и звездной астрономии, т. I, под редакц. А. А. Михайлова, 1951. Москва—Ленинград.
41. Бугославская Е. А. Фотографическая астрометрия, 1947. Москва.
42. Strand K. Aa. Photographic measures of double stars, *Annals of the Dearborn observatory of Northwestern University*, 1954, **7**, 1, 1—30.
43. Brüggenmann H. Der offene Sternhaufen M34. *Astr. Abh. der Hamburger Bergedorf Sternwarte*, 1935, **4**, 7.
44. Голикова Т. И. Определение температурного изменения масштаба 380-см фотографа Московской обсерватории по измерениям в Плеядах. *Сообщ. ГАИШ*, 1961, **104**, 61—67.

45. Strand K. Aa. The present status of double star astronomy. AJ, 1954, **59**, 2, 61—66.
46. Ionckheere R., Couteau P. Une rectification importante au Catalogue ADS, JO, 1953, **36**, 4, 44—46.
47. Böttger G. Photographische Doppelsternmessungen mit einem Refraktor von 182 cm Brennweite. AN, 1958, **284**, 4, 177—181.
48. Старикова Г. А. Относительные положения и звездные величины компонент звезд типа Трапеции. Астрон. Журн. 1959, 2, 374.
49. Hertzsprung E. Photographic measures of double stars made on plates taken with the 36-inch refractor of the Lick Observatory. BAN, 1940, 9, 330, 113—116.
50. Cuntzel-Lingner U. Photographische Messungen von Doppelsternen von 1953, 3 bis 1957, 6. Publ. Astroph. Observ. zu Potsdam, 1962, **30**, 101, 1—70.
51. Гольдберг-Рагозинская Н. М. Определение фотометрических стандартов в площадках Пулковского каталога внегалактических туманностей. Изв. Пулков. обс. 1958, 162, 94—103.
52. Шаров А. С. Современное состояние проблемы фотометрических систем и стандартов звездных величин и показателей цвета. Бюлл. Абастум. астрофиз. обс. 1962, **27**, 133—150.
53. Johnson H. L. Magnitudes and colors in M34. Aph. J. 1954, **119**, 185—187.
54. Johnson H. L. Magnitudes and colors in NGC 752. Aph. J. 1953, **117**, 356—360.
55. Hiltner W. A., Iriarte B., Johnson H. L. The galactic cluster NGC 6633. Aph. J. 1958, **127**, 539—543.
56. Каландадзе Н. Б. Определение абсолютных величин слабых звезд поздних спектральных классов (G и K) по спектрам, полученным с объективной призмой. Бюлл. Абастум. астрофиз. обс. 1949, **10**, 64—123.
57. Мегрелишвили Т. Г. Изучение некоторых физических свойств высоких слоев атмосферы методом электрополяриметрии сумерек. Бюлл. Абастум. астрофиз. обс. 1948, 9, 1—142.
58. Магалашвили Н. Л. Электроколориметрия затменной переменной U Змееносца. Бюлл. Абастум. астрофиз. обс. 1949, **10**, 45—62.
59. Алания И. Ф. Исследование избирательного поглощения света в Галактике по цветовым избыткам короткопериодических цефеид. Бюлл. Абастум. астрофиз. обс. 1958, **23**, 1—67.
60. Кналадзе Р. И. Опыт определения лучевых скоростей звезд с помощью объективной призмы, установленной перед 70 см менисковым телескопом. Бюлл. Абастум. астрофиз. обс. 1959, **24**, 35—84.
61. Харадзе Е. К., Бартая Р. А. О двухмерной спектральной классификации звезд с применением предобъективной призмы. Бюлл. Абастум. астрофиз. обс. 1960, **25**, 139—154.

РАЗВИТИЕ ХРОМОСФЕРНЫХ ВСПЫШЕК

Т. С. РАЗМАДЗЕ и Н. З. ГОГОСАЦВИЛИ

В статье приводятся кривые развития хромосферных вспышек, наблюдавшихся в Абастуманской астрофизической обсерватории в 1960 году с помощью хромосферного телескопа АФР-2. Были выбраны 10 вспышек — наибольшие из наблюденных. Описание методики, а также и кривые развития вспышек за 1958—59 годы можно найти в работах [1, 2]. Некоторые данные о вспышках приведены в таблице; объяснение к ней и к кривым даны в [2].

нр.	Дата	Всемирное время наблюд.			Координаты			Мощность	Условия наблюдений	Примечания
		1960	нач.	конец	макс.	λ	φ	L		
1	4.II	84.38M.	94.03M.	84.48M.	+ 8°	+ 39	189°	2	1	
2	29.III	6 56	10 16	7 11	+ 11	- 33	126	2+	3	
3	8.VI	7 35	8 40	7 47	+ 34	+ 35	337	2+	3	
4	10.VI	6 35	7 04	6 38	+ 35	+ 65	340	2+	3	
5	13.VI	7 25	8 05	7 37	+ 18	+ 28	263	2	3	
6	14.VIII	5 15	6 55	5 30	+ 21	+ 5	140	2+	3	
7	15.VIII	5 18	6 16	5 29	+ 20	+ 17	138	1+	3	
8	2.IX	7 03	9 06	7 16	+ 18	+ 23	266	2+	3	
9	21.IX	8 30	8 48	8 35	+ 21	- 58	293	2	3	
10	20.XII	8 33	9 18	8 45	- 17	+ 75	320	2	3	

На фото представлены фотографии вспышек в моменты или вблизи максимумов.

Краткая характеристика вспышек. Вспышка № 1, 4.II.1960 г. в области большой группы пятен и большого, точечной структуры флоккула. Поблизости расположено большое дугообразное волокно. Вспышка состояла из трех центров, которые начали развиваться почти одновременно с небольшим сдвигом моментов максимума. Интенсивность главного центра больше, чем в три раза превышает интенсивность соседней невозмущенной хромосфере, при более остром подъеме яркости и кратковременном максимуме. Максимумы остальных, более слабых центров гораздо более низки, более длительны и с колебаниями. Изменение площади вначале проходило как изменение площади отдельных центров; затем, вблизи максимума яркости, они соединились так, что трудно было отграничить их друг от друга. Общая площадь изменилась параллельно изменению яркости.

Вспышка № 2, 29.III.1960 г. развилась в области яркого флоккула. Сначала выделялся один центр, слабо меняющий свою интенсивность. Затем возник второй и т. д., до шести центров. В максимуме область вспышки была сплошной и довольно протяженной (около 10°). Различные центры вспышки отличались по характеру развития. Два наиболее ярких центра (1, 2) начали развиваться одновременно, но достигли наивысшей яркости в разное время. Их максимумы характеризовались